



نقشه برداری

ماهنامه علمی و فنی سازمان نقشه برداری کشور

شماره استاندارد بین المللی ۵۲۵۹ - ۱۰۴۹

سال پانزدهم، شماره ۵۵ (پیاپی ۶۶) مهر ۱۳۸۳

۴۴

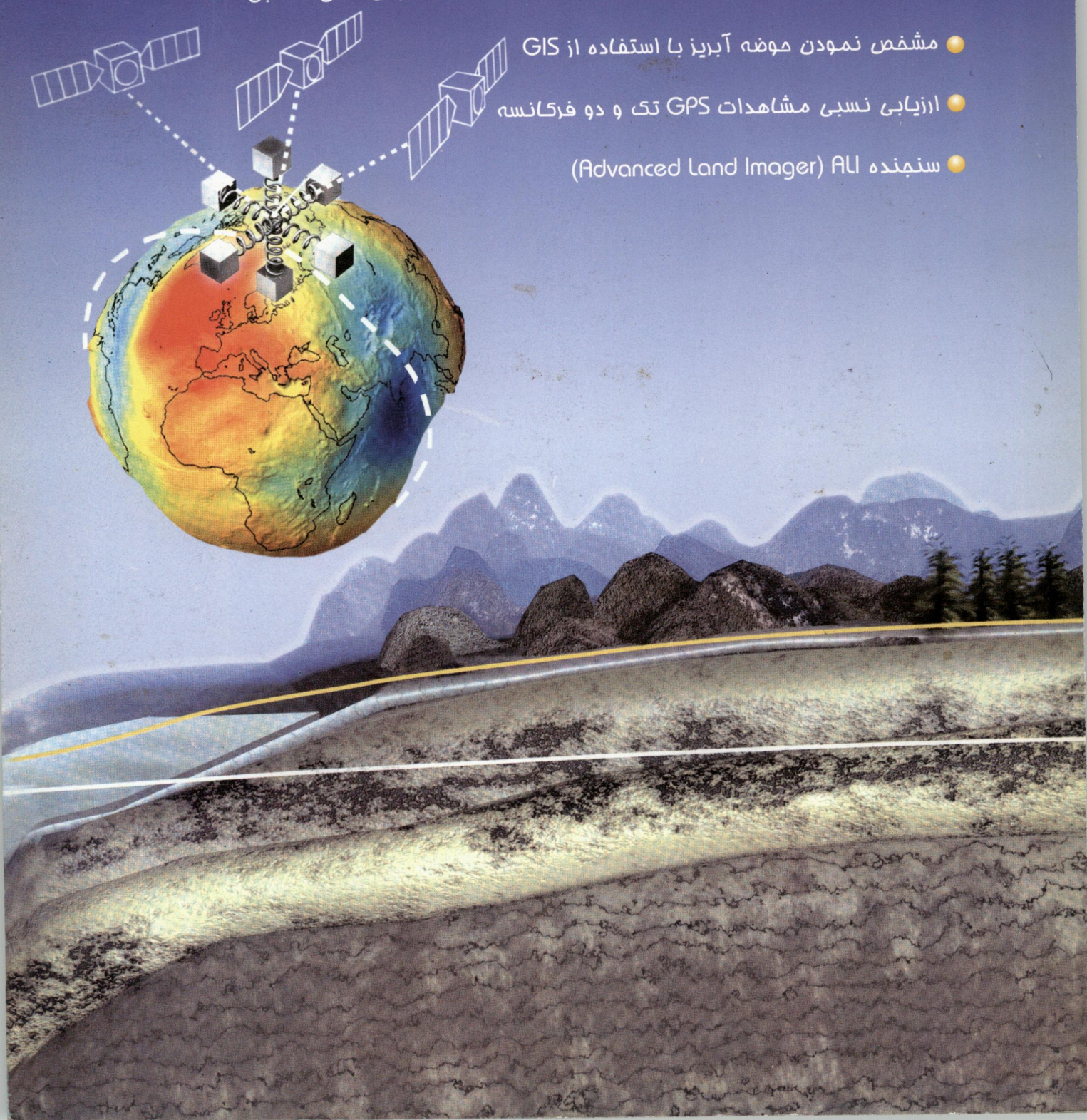
تشخیص اتوماتیک اشیاء سه بعدی؛ برآوردهای بکارگیری همزمان داده‌های طیفی و اتفاقی LIDAR

طبقه‌بندی تصاویر چند طیفی سنجش از دور با استفاده از روش فازی- عصبی

مشخص نمودن موضع آبریز با استفاده از GIS

ارزیابی نسبی مشاهدات GPS تک و دو فرکانسی

سنجنده ALI (Advanced Land Imager)



پنتاکس

مجموعه راه حل های ساختمانی و راهسازی

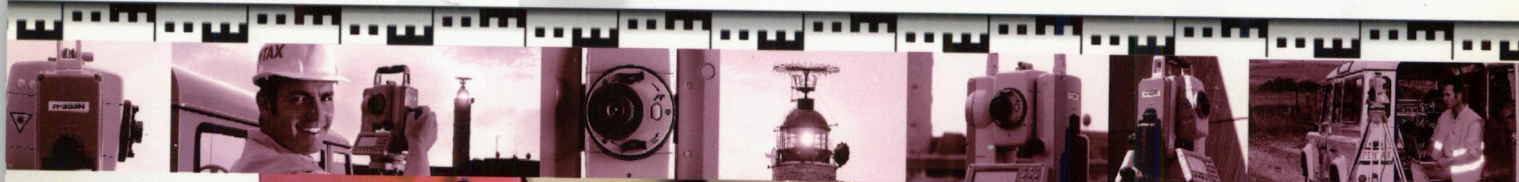


R-322 / R-322N	2"	0.6 mgon
R-323 / R-323N	3"	1.0 mgon
R-335 / R-335N	5"	1.5 mgon
R-325 / R-325N	5"	1.5 mgon
R-315 / R-315N	5"	1.5 mgon
R-326	6"	1.9 mgon

توtal استیشن های لیزری

R-300

www.pentaxr300.com



PENTAX

Total Construction Solutions

شرکت جاهد طب (سهامی خاص)



نماینده اختصاری پنتاکس در ایران

تهران - خیابان مطهری، ابتدای میرزاگی شیرازی، شماره: ۱۹۹
تلفن: ۰۹۱۲۲۱۶۵۰۰۰ - ۰۸۳۱۵۰۰۰ (خط) فکس: ۰۸۳۱۴۹۹۹
www.jahedteb.com info@jahedteb.com

- ✓ تراز الکترونیکی
- ✓ سه حالت فوکوس اتوماتیک
- ✓ فاصله بینی بدون منشور (تا ۱۸۰ متر)
- ✓ ضد آب و گرد و خاک IPX6
- ✓ شاقول لیزری
- ✓ نقطه لیزری دائم و مرئی

نقشه‌برداری

شماره استاندارد بین‌المللی: ۱۰۲۹ - ۵۲۵۹

ISSN: 1029-5259

Volume 16 Number 66

OCTOBER 2004

ماهنشا علمی - فنی

سال پانزدهم (۱۳۸۳) شماره ۵ (پیاپی ۶۶)

مهر ۱۳۸۳

صاحب امتیاز: سازمان نقشه‌برداری کشور

بِسْمِ اللّٰہِ الرَّحْمٰنِ الرَّحِیْمِ

فهرست

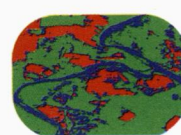
■ سرمقاله

■ مقاله

۴



۲۹



۱۶



۳۹

تشخیص اتوماتیک اشیاء سه بعدی؛ بر مبنای

بکارگیری هم‌زمان داده‌های طیفی و ارتفاعی

۵ LIDAR

طبقه‌بندی تصاویر چند طیفی سنجش از دور با

استفاده از روش فازی - عصبی

۱۰ مشخص نمودن حوضه آبریز با استفاده از GIS

۱۷ (Watershed Delineation Using GIS)

■ گزارش‌های فنی و خبری

ارزیابی نسبی مشاهدات GPS تک و

۲۲ دوفرکانسه

۲۹ سنجنده ALI (Advanced Land Imager)

گزارشی از برگزاری کارگاه تخصصی

روشهای تحقیق در علوم و مهندسی

۳۰ ریوتوماتیک

مژوری بر سوالات آزمون کارشناسی ارشد

۳۲ رشته مهندسی نقشه‌برداری، شماره ۴

۳۱ ISI و ریوتوماتیک؛ ISI یک شاخص استاندارد در

۳۵ سنجش تولید علم در جهان

۳۹ سازمان یادگیرنده «Learning Organization»

۴۲ ■ اخبار

پند نکته ۱۹۶۱
متن اصلی مقاله هارا همراه با متن ترجمه شده

ارسال فرمایید.

فهرست منابع مورد استفاده همراه متن باشد.

فایل حروفچینی شده مقاله را همراه با نسخه

کاغذی آن به دفتر نشریه ارسال فرمایید.

نشانی: تهران، میدان آزادی، خیابان معراج،
سازمان نقشه‌برداری کشور

صندوق پستی: ۱۶۸۴ - ۱۳۱۸۵

تلفن اشتراک ۸-۳۱۰۰۰۳۱-۶۰۰۰۰۳۱ (داخلی ۴۶۸)

دورنگار: ۶۰۰۱۹۷۲

پست الکترونیکی: magazine@ncc.org.ir

نشانی اینترنتی: www.ncc.org.ir

شرح روی جلد:
گراآدیومتر سه محوری ماهواره GOCE برای
اندازه‌گیری میدان ثقل زمین

مدیر مسئول: دکتر محمد مدد

سردیبیر: مهندس مرتضی صدیقی

هیئت تحریریه:

دکتر محمد مدد، مهندس محمد سرپولکی، مهندس
حمدیرضا نانکلی، مهندس غلامرضا فلاحتی، دکتر
سعید صادقیان، مهندس سید بهداد غضنفری،
مهندنس مرتضی صدیقی، مهندس بهمن تاج فیروز،
مهندنس محمد حسن خدام محمدی، مهندس
فرهاد کیانی فر، دکتر علیرضا قراگزلو

همکاران این شماره:

سعید صادقیان، مسعود عرفانیان، اصغر میلان لک،
غلامرضا کریم‌زاده، لطف‌الله عمادعلی، فرهاد
صمدزادگان، رضا احمدیه، مهدی آخوندزاده،
پیمان بکتاش، محمود بخان‌ور، حسین جلیلیان،
مدیریت روابط عمومی و امور بین‌الملل

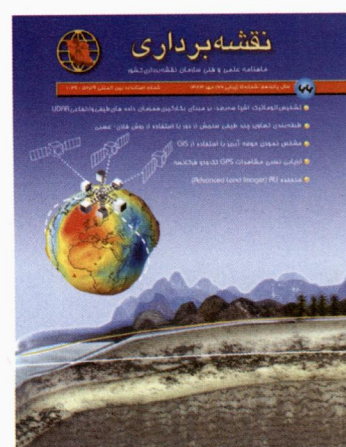
اجرا: مدیریت پژوهش و برنامه‌ریزی، مرکز
تحقیقات نقشه‌برداری

ویرایش: حسین رستمی جلیلیان

صفحه آرایی و گرافیک: مریم پناهی

تایپ رایانه‌ای: سکینه حلاج

لیتوگرافی چاپ و صحافی: سازمان نقشه‌برداری کشور



طراحی جلد: مریم پناهی

سرمقاله

در ادامه تدوین برنامه چهارم توسعه اقتصادی، اجتماعی و فرهنگی جمهوری اسلامی ایران و براساس مفاد ذیل ماده ۷۵ و ماده ۱۵۹ لایحه برنامه و برای رسیدن به چشم انداز و اهداف سند، لازم است برنامه هایی فرآگیر در جهت رفع موانع و اصلاح ساختارهای موجود در سطوح مختلف کلان، بخش و منطقه تدوین شود. بدین منظور، تدوین حدود ۳۰ سند فرآبخشی با موضوعات مختلف توسط سازمان مدیریت و برنامه ریزی (شورای اقتصاد) پیشنهاد شد. یکی از این استاد مهم، سند ملی توسعه ویژه (فرآبخشی) «منظومه اطلاعات مکان محاور» است. در تدوین این سند سازمان نقشه برداری کشور، سازمان مدیریت و برنامه ریزی و وزارت خانه های علوم، تحقیقات و فناوری، مسکن و شهرسازی، جهاد کشاورزی، صنایع و معادن، ارتباطات و فناوری اطلاعات، نیرو، کشور و دبیرخانه شورای عالی اطلاع رسانی همکاری داشته اند.

این سند با تکیه بر شعار اصلی برنامه چهارم یعنی توسعه پایدار مبتنی بر دانایی، «اطلاعات» را رکن اساسی در جهت افزایش دانش و دانایی و همچنین رشد اقتصادی و توسعه پایدار دانسته و با توجه به اینکه ۸۰٪ اطلاعات مورد نیاز در بخش‌های دولتی و غیردولتی ماهیت مکانی دارند، اهمیت و نیاز به ایجاد زیرساخت اطلاعات مکانی بیشتر احساس می‌شود. هدف اصلی زیرساخت اطلاعات مکانی، مدیریت بهینه داده‌های مکانی است که منجر به جلوگیری از اتلاف منابع، دوباره کاریها و همچنین سبب بهبود برنامه ریزیها در سطوح ملی (تا محلی) می‌گردد. به عبارت دیگر می‌توان گفت: «زیرساخت ملی اطلاعات مکانی مجموعه‌ای از سیاستها، استانداردها، شبکه‌های دسترسی، فناوریها، داده‌های مکانی، سازمانها و نیروی انسانی است که امور مختلف تولید و جمع آوری، دسترسی و استفاده بهینه از داده‌های مکانی در سطح ملی را تسهیل و هماهنگ می‌سازد.»

چشم انداز این سند با توجه به چشم بلندمدت جمهوری اسلامی ایران و سیاستهای کلی نظام به این صورت تعریف شده است: «رشد اقتصادی، اجتماعی، زیست محیطی و به طور کلی توسعه پایدار دانایی محاور با استفاده گسترده و همه جانبه بخش‌های دولتی و غیردولتی و آحاد مردم از داده‌های مکانی مناسب و با کیفیت در تصمیم‌گیریها، برنامه ریزیهای بلند مدت و میان مدت، اداره امور در شرایط عادی و بحرانی و فعلیتهای روزمره».

ارکان اصلی این زیرساخت عبارتست از: «سازمانها و مردم، سیاستها، استانداردها، شبکه دسترسی و داده‌های مکانی». در بخشی از این سند تحت عنوان «ماموریتها و وظایف»، تشکیل شورای عالی راهبردی زیرساخت ملی داده‌های مکانی با ریاست رئیس جمهور و عضویت وزیر نیرو، وزیر راه و ترابری، وزیر صنایع و معادن، وزیر جهاد کشاورزی، وزیر ارتباطات و فناوری اطلاعات، وزیر کشور، وزیر مسکن و شهرسازی، وزیر نفت، رئیس سازمان مدیریت و برنامه ریزی (نایب رئیس)، رئیس دبیرخانه زیرساخت ملی داده مکانی (دبیر) و دو نفر صاحب نظر و متخصص در زمینه مهندسی نقشه برداری با معرفی وزیر علوم، تحقیقات و فناوری و وظایف این شورا و دبیرخانه پیشنهاد شده است.

در بخش پایانی سند، حکام موردنیاز برای دستیابی به چشم انداز زیرساخت ملی داده مکانی در محورهای «سیاستها، مشارکت و همکاری بخش‌های دولتی و غیردولتی، ایجاد ظرفیت فنی، استانداردها، ایجاد زیرساخت مخابراتی و ارتباطی، اعتبارات، ایجاد زیرساختهای بخشی، استانی و محلی داده مکانی، استفاده از داده‌های مکانی در تصمیم‌گیری و استفاده از داده‌های مکانی در مدیریت بحران» ارائه شده است.

امید است با تصویب این سند و اجرایی شدن آن دسترسی پویا به اطلاعات مکانی بهنگام و دقیق موردنیاز توسعه اقتصادی، اجتماعی و فرهنگی کشور میسر گردد.

تشخیص اتوماتیک اشیاء سه بعدی؛ برمبنای بکارگیری همزمان داده‌های طیفی و ارتفاعی LIDAR

نویسنده: دکتر فرهاد صمدزادگان

دکترای فتوگرامتری گروه مهندسی نقشه‌برداری و ژئوماتیک دانشکده فنی دانشگاه تهران

samadz@ut.ac.ir

چکیده

تنوع و پیچیدگی ماهیت اشیاء و پدیده‌ها در طبیعت باعث می‌گردد خصوصیات توصیفی این عوارض، غیر قابل مدل‌سازی ریاضی باشند. از این رو روش‌های معمول که سعی بر توصیف اشیاء برمبنای یک فرمول سازی قطعی را داشته و به حل مساله در یک حالت ایستاده باشند، نمی‌توانند در عمل به عنوان یک راه حل کارا در استخراج و تشخیص پدیده‌های موجود در طبیعت مطرح شوند. در این نوشه روشنی پویا بر مبنای بکارگیری منطق فازی به منظور بیان عدم قطعیت خصوصیات اشیاء و ادغام داده‌های طیفی و ارتفاعی LIDAR در روند استخراج، به منظور استخراج و تشخیص اشیاء سه بعدی ارائه شده است. نتایج حاصل از بکارگیری روش ارائه شده در رابطه با اشیاء از نوع ساختمان و درخت، بیانگر قابلیت بالای این روش در استخراج و تشخیص عوارض سه بعدی است. واژه‌های کلیدی: استخراج، تشخیص، ادغام، استخراج فازی، عملگرهای مورفو‌لوجیکی، رشد ناحیه، LIDAR

Automatic 3D Object Extraction and Recognition from LIDAR Data

Farhad Samadzadegan

Dept. of Surveying and Geomatics Engineering, Faculty of Engineering, University of Tehran, Tehran, Iran

samadz@ut.ac.ir

KEY WORDS: 3D Objects, Extraction, Recognition, Information fusion, Fuzzy logic, Morphological operators, Region growing,

ABSTRACT

Three dimensional object extraction and recognition (OER) from LIDAR data has been an area of major interest in photogrammetry for quite a long time. However, most of the existing methods for automatic object extraction and recognition from LIDAR data are just based on the range information and employ parametric methods and object's vagueness behaviour is basically neglected. Thus, these methods do not take into account the extraction and recognition complexities and may fail to reach a satisfied reliability level in complex situations. In this paper a novel approach based on the following strategies is formulated and implemented: (a) for a more comprehensive definition of the objects, information fusion concept is utilized, i.e., object's descriptive components such as 3D structural and textural (ST) information are automatically extracted from first/last rang and intensity information of LIDAR data and simultaneously fed into the evaluation process, (b) for a more realistic expression of the objects and also for simultaneous fusion of the extracted ST components, the fuzzy reasoning strategy is employed. The proposed automatic OER methodology is evaluated for two different object classes of buildings and trees, using a portion of LIDAR data of an urban area. The visual inspection of the recognized objects demonstrates promising results.

۱. مقدمه

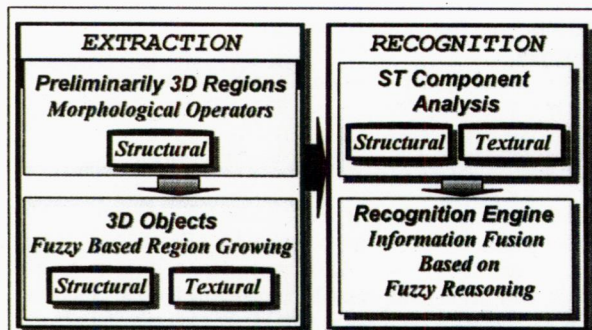
دستیابی به یک سیستم خودکار به عنوان جایگزین عامل انسانی در استخراج و تشخیص عوارض سه بعدی از داده‌های LIDAR یکی از مهمترین محورهای تحقیقاتی در زمینه فتوگرامتری و بینایی کامپیوترا در سالهای اخیر بوده و فعالیتهای گسترده‌ای در این زمینه در حال انجام است [۱-۹]. LIDAR یک سنجنده فعال به منظور جمع آوری توده‌ای از نقاط تعریف کننده سطح زمین بوده که شامل یک سیستم فاصله‌یاب لیزری، یک سیستم اندازه‌گیری اینرسی و یک سیستم تعیین موقعیت تفاضلی (DGPS) است. عموماً بر مبنای اطلاعات حاصل از سنجنده‌های LIDAR دو مشخصه مطرح از اشیاء یعنی مشخصه‌های ساختاری و بافتی (ST) قابل بیان هستند.

«مشخصات ساختاری»، بیان کننده خصوصیات سه بعدی المانهای تشکیل دهنده سطح شی هستند. در روند تشخیص پدیده‌های موجود در طبیعت با استفاده از این مشخصه می‌توان یک تحلیل کارا در تشخیص اولیه و سریع بسیاری از پدیده‌های سه بعدی مورد نظر ارائه نمود که

اطلاعات مختلف، از توانایی فرمول سازی بر مبنای عدم قطعیت واقعیتهای فیزیکی موجود در طبیعت نیز برخوردار باشد. به منظور دستیابی به یک روش کارا و جامع که از قابلیتهای فوق الذکر برخوردار باشد، روش ارائه شده در این نوشتۀ برای اولین بار طراحی و پیاده سازی شد. این روش ضمن برخورداری از قابلیت ادغام همزمان اطلاعات مختلف، از مفاهیم و منطق فازی برای بیان واقعیتهای موجود در طبیعت استفاده می نماید.

۲. روند کلی روش ارائه شده در تشخیص خودکار اشیاء

روش ارائه شده در این نوشتۀ از دو مرحله اصلی استخراج و تشخیص اشیاء تشکیل شده است (شکل ۱). در ادامه خصوصیات روش ارائه شده مورد بررسی قرار گرفته و با بیان خصوصیات سیستم پیاده سازی شده، نتایج حاصل از بکارگیری این روش روی یک منطقه شهری ارائه شود.



شکل ۱. روش پیشنهادی در تشخیص خودکار عوارض بر مبنای داده‌های LIDAR

۳. استخراج اشیاء

در مرحله استخراج، بر مبنای اختلاف مشخصه‌های ساختاری- بافتی (ST) اشیاء از محیط اطراف، نسبت به تعیین محدوده آنها اقدام می شود. بدین منظور با توجه به مزایای بیان شده در رابطه با مشخصه ساختاری اجسام، ابتدا بر مبنای اطلاعات ارتفاعی LIDAR محدوده اولیه آنها تعیین و در ادامه مشخصه‌های ساختاری- بافتی (ST) قابل بکارگیری همزمان دیگر مشخصه‌های ساختاری- بافتی (ST) باشی از شی استخراج می شود.

انجام این کار بر مبنای مشخصه‌های دیگر (طیفی و بافتی) دارای ابهامات و مشکلات فراوانی است [۲۳]. با وجود این، مشخصه فوق قادر به بیان تمام ویژگیهای شی مورد نظر نیست. چرا که: اولاً مشخصات هندسی تنها مشخصات موجود در شی نبوده و مشخصاتی از قبیل روشنایی و رنگ می توانند مستقل از اطلاعات ساختار هندسی جسم باشند. ثانیاً این مشخصه در رابطه مستقیم با فاصله نمونه برداری در سیستمهای LIDAR باشد که همواره دارای محدودیت در فاصله نمونه برداری بوده و در رابطه با عوارض ساخت بشر یا پدیده‌های طبیعی که ساختار هندسی آنها دارای تغییرات ناگهانی شبی است، قادر به بیان مشخصات کامل شی نیست. «مشخصات بافتی» بیان کننده ابعاد، شکل، روشنایی و ترتیب المانهای تشکیل دهنده سطح شی است. این مشخصه یکی از مهمترین و پر کاربردترین مشخصه‌های مورد استفاده در زمینه تشخیص خودکار اشیاء کامپیوتربوده و تاکنون روش‌های بسیار متنوعی به عنوان معیاری برای ارزیابی و بیان خصوصیات بافتی ارائه گردیده است [۱۰]-[۱۲]. در سالهای اخیر دو روش عمده به منظور افزودن قابلیت اندازه‌گیری اطلاعات رادیومتریک عوارض به داده‌های معمول ارتفاعی LIDAR (مختصات سه بعدی عوارض) مورد استفاده قرار گرفته است:

۱. سیستمهای LIDAR امروزی علاوه بر اندازه‌گیری مشخصات عوارض، قدرت سیگنال برگشتشی را نیز ثبت می کنند که از این اطلاعات می توان به عنوان یک مؤلفه رادیومتریک استفاده نمود.

۲. بکارگیری یک دوربین رقومی با قدرت تفکیک بالا در کنار سایر قسمتهای سیستم

با توجه به قابلیتها و محدودیتهای هریک از مشخصه‌های ساختاری و طیفی، اولین ویژگی مورد نیاز در یک روش جامع در تشخیص عوارض، برخورداری از توانایی ادغام و بکارگیری همزمان این مشخصه‌های است. از طرف دیگر، با توجه به تنوع، پیچیدگی و ابهام موجود در پدیده‌های واقع در طبیعت و عدم امکان ارائه یک روند قطعی برای ادغام مشخصه‌های ساختاری- بافتی (ST) به منظور توصیف آنها، برای آن که در عمل یک روش بتواند به عنوان یک روش بهینه و جامع در تشخیص خودکار عوارض مطرح شود باید در کنار برخورداری از قابلیت بکارگیری همزمان

می‌پذیرد. ورودی سیستم استنتاج در این مرحله متغیرهای زبانی «اختلاف بافت»، «اختلاف ناهمواری» و «بعد» و خروجی آن متغیر زبانی «رشد» در نظر گرفته شده است. متغیر زبانی «بعد» در روند رشد ناحیه، از ایجاد نواحی کوچکتر از بعد مینیمم اشیاء مورد نظر جلوگیری نموده و همچنین از این معیار به عنوان قیدی برای کنترل روند رشد ناحیه نسبت به ناحیه اولیه تعریف شده بر مبنای مشخصات ساختاری استفاده می‌شود.

تحلیل اختلاف بافت و ناهمواری بر اساس میانگین مقادیر انحصار میانگین (K) و گوسی (H) در بازه‌های تعریف شده در اطراف نقطه مورد بررسی و نقاط موجود تعیین می‌شود (فرمول ۳).

$$H = \frac{S_{uu} + S_{vv} + S_{uv} S_u^2 - 2S_u S_v S_{uv}}{2(1 + S_u^2 + S_v^2)^2} \quad (3)$$

$$K = \frac{S_{uu} S_{vv} - S_{uv}^2}{(1 + S_u^2 + S_v^2)^2}$$

در رابطه فوق S_u, S_v, S_{uv}, S_{vv} مشتقات جزیی مرتبه اول و دوم تصویر (در رابطه با تحلیل بافت) یا سطح جسم (در رابطه با تحلیل ناهمواری)، H انحصار گوسی و K انحصار میانگین است [۲۳].

۴. تشخیص اشیاء

با استخراج محدوده اشیاء، در این مرحله ابتدا مشخصه‌های ST ناحیه معرف شی، تحلیل گردیده و در مرحله بعد، مشخصات فوق به هسته استنتاج سیستم به منظور تشخیص نوع عارضه معرفی می‌شود.

۱.۳. استخراج اولیه نواحی سه بعدی بر مبنای مشخصه ساختاری

در روش ارائه شده انجام این امر بر مبنای استفاده از عملگرهای مورفوЛОژیکی انجام می‌پذیرد. بدین منظور در قدم اول با اعمال عملگر مورفوLOژیکی (تاب-هت) نسبت به استخراج اولیه نواحی از مدل رقومی سطح (DSM) اقدام می‌شود [۱۰].

$$\text{Regions} = \text{DSM} \Theta (\text{DSM} \circ b) \quad (1)$$

در رابطه فوق b عنصر ساختاری D_a و D_b ، به ترتیب، دامنه تعریف a و b و « Θ » عملگر «اپنینگ» بوده که به صورت زیر تعریف می‌شود:

$$a \circ b = (a \Theta b) \oplus b \quad (2)$$

در ادامه با بکارگیری اعمال عملگرهای مورفوLOژیک («اپنینگ» و «کلینینگ»)، نسبت به اصلاح نواحی و حذف اشیاء کوچکتر از بعد مورد نیاز اقدام می‌گردد [۱۰]. با تعیین نقاط مرزی نواحی سه بعدی استخراج شده، محدوده دقیق اشیاء بر مبنای تحلیل همزمان مشخصات ST تعیین می‌شود.

۲.۳. استخراج نواحی بر مبنای تحلیل همزمان مشخصه‌های ST

در قالب یک سیستم استنتاج فازی

همانگونه که بیان گردید، هرچند مشخصه ساختاری، پارامتر بسیار کارایی در تشخیص اولیه نواحی معرف اشیاء سه بعدی است، با وجود این با توجه به محدودیت توانایی آن در توصیف کامل اشیاء، نواحی تشخیص داده شده بر مبنای این مشخصه از دقت محدودی برخوردار است. از این رو به منظور استخراج دقیق تر پارامترهای معرف شکل عوارض و تفکیک آنها از یکدیگر نسبت به تحلیل همزمان مشخصه‌های ST موجود از شی اقدام می‌شود. در روش ارائه شده، تحلیل فوق بر مبنای بکارگیری یک الگوریتم رشد ناحیه نواحی در قالب یک سیستم استنتاج فازی از نوع مبدنی انجام

	Linguistic Variable	Linguistic Labels
Input	Size	SoLarge, Large, Medium, Small, SoSmall
	TextureDiff	SoLarge, Large, Medium, Small, SoSmall
	ReliefDiff	SoLarge, Large, Medium, Small, SoSmall
Output	Grow	Grow, ProbablyGrow, ProbablyNotGrow, NotGrow

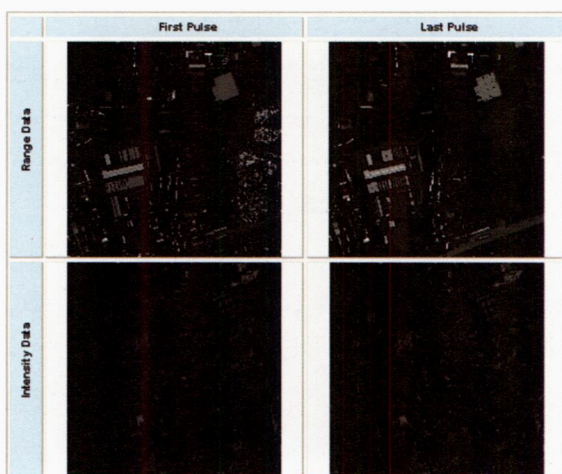
جدول ۱. متغیرها و برجسته‌های زبانی مورد استفاده در روند استخراج عوارض

	Type	Linguistic Variable	Linguistic Labels
Input	Structural	Height	SoHigh, High, Medium, Short, SoShort
		Area	SoLarge, Large, Medium, Small, SoSmall
		Relief	SoRegular, Regular, Irregular, SoIrregular
		Shape	soStretched, Stretched, NonStretched
	Textural	Texture	SoRegular, Regular, Irregular, SoIrregular
Output	Object	Object Type	Yes, ProbablyYes, ProbablyNot, Not

جدول ۲. متغیرها و برچسبهای زبانی مورد استفاده در روند تشخیص عوارض

۵. ارزیابی کارایی روش ارائه شده

به منظور ارزیابی توانایی مفاهیم و الگوریتمهای ارائه شده در این نوشتہ، نسبت به استخراج و تشخیص خودکار اشیاء سه بعدی از نوع ساختمان و درخت، از داده‌های ارتفاعی و رادیومتریک LIDAR یک ناحیه شهری که مربوط به بخشی از شهر Castrop-Rauxel در غرب آلمان است، اقدام شد (شکل ۲).



شکل ۲. داده‌های LIDAR مربوط به منطقه مورد نظر

همانگونه که از شکل ۲ مشاهده می‌شود، تشخیص اشیاء موردنظر در ناحیه انتخابی، با توجه به تلفیق و نزدیکی آنها به یکدیگر و تنوع خصوصیات ساختاری هر یک از عوارض فوق، از پیچیدگی خاصی برخوردار بوده که روش‌های کلاسیک معمول، عموماً در انجام روند فوق با مشکلات مختلفی مواجه هستند. در ابتدا بر مبنای خصوصیات کلی اشیاء مورد نظر (ساختمان، درخت) و مشخصات داده‌های LIDAR (مقیاس و قدرت تفکیک)،

۱.۴. تعیین مشخصه‌های ساختاری - بافتی (ST)

همانگونه که بیان شد، با توجه به پیچیدگی و ابهامات بسیاری که در اشیاء و در نتیجه اطلاعات ثبت شده از آنها موجود است، باید از ادغام کلیه اطلاعات قابل استفاده در توصیف خصوصیات شی و در نتیجه، تشخیص آنها بر مبنای مشخصه‌های ST استفاده کرد. از این‌رو در این مرحله نسبت به تحلیل همزمان مشخصه‌های اشیاء بر مبنای توصیف گرهای مطرح در هر زمینه اقدام می‌شود. شایان ذکر است توصیف گرهای مورد استفاده تنها موارد ممکن در انجام روند فوق نبوده و می‌توان از دیگر تکنیکهای مطرح در هر یک از زمینه‌های فوق استفاده کرد [۲۴].

۲.۰. توصیف اشیاء بر مبنای ادغام مشخصه‌های ST در قالب

یک سیستم استنتاج فازی

اگرچه مشخصه‌های ST قادر به بیان طیف گسترده‌ای از خصوصیات موجود در اشیاء هستند، با وجود این، توصیف پارامتریک اشیاء بر مبنای یک مدل قطعی از این مشخصه‌ها در عمل امکان پذیر نیست. در این رابطه در روش ارائه شده به منظور دستیابی به یک سیستم کار، از منطق فازی به منظور توصیف اشیاء بر مبنای مشخصه‌های ST آنها استفاده شده است.

متغیرهای زبانی ورودی سیستم استنتاج در رابطه با مشخصه ساختاری ارتفاع، مساحت، ناهمواری و شکل و در رابطه با مشخصه بافتی، مقادیر توصیف گر بافت مورد استفاده در توصیف شی هستند. در ساختار فوق نوع عارضه مورد نظر به عنوان متغیر زبانی خروجی سیستم در نظر گرفته شده است. در جدول ۲، متغیرها و برچسبهای زبانی مورد استفاده در روند تشخیص ارائه شده است.

با تشکیل و تنظیم پارامترهای روند استنتاج، نسبت به استخراج و تشخیص اشیاء مورد نظر اقدام شد. شکل ۵، بیانگر نتایج حاصل از بکارگیری روش ارائه شده در منطقه ارزیابی است. همانگونه که از این شکل مشاهده می‌شود، از بین عوارض مختلف موجود در این ناحیه، تنها دو نوع شی ساختمان و درخت به عنوان اشیاء مورد نظر تعیین شده‌اند.



شکل ۵. نتایج حاصل از بکارگیری روش ارائه شده در منطقه مورد نظر

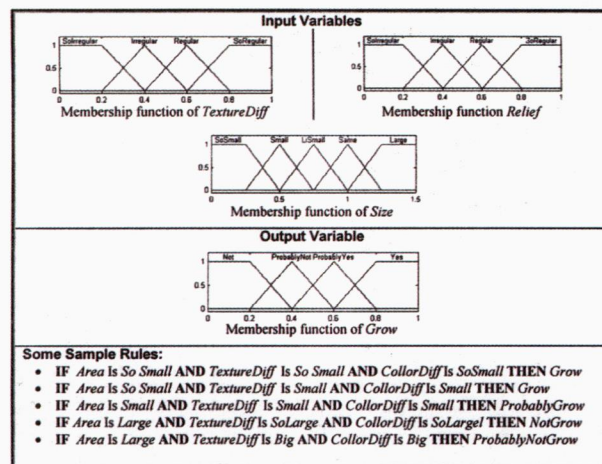
۶. نتیجه‌گیری و پیشنهاد

همانگونه که مشاهده شد، در روش ارائه شده در این نوشتة، قابلیتهای مورد نظر برای یک سیستم جامع و کارا در زمینه تشخیص خودکار اشیاء سه بعدی از داده‌های ارتفاعی و طیفی LIDAR به صورت: ۱. ادغام کلیه اطلاعات قابل بیان از شی در ساختار استنتاجهای مورد نیاز در روند استخراج و تشخیص و ۲. فرمول‌سازی عدم قطعیت موجود در بیان اشیاء و پدیده‌های مورد نظر بر مبنای منطق فازی اعمال گردید. نتایج حاصل از بکارگیری روش فوق در رابطه با اشیاء سه بعدی مختلف در محیط‌های پیچیده بیانگر توانایی بالای روش فوق در حل مساله تشخیص خودکار اشیاء است. با وجود این، موقوفیت به دست آمده در این روش به معنای حل کامل مسائل مطرح در تشخیص اشیاء نبوده و هنوز تحقیقات مختلف دیگری در زمینه‌های ذیل مورد نیاز است:

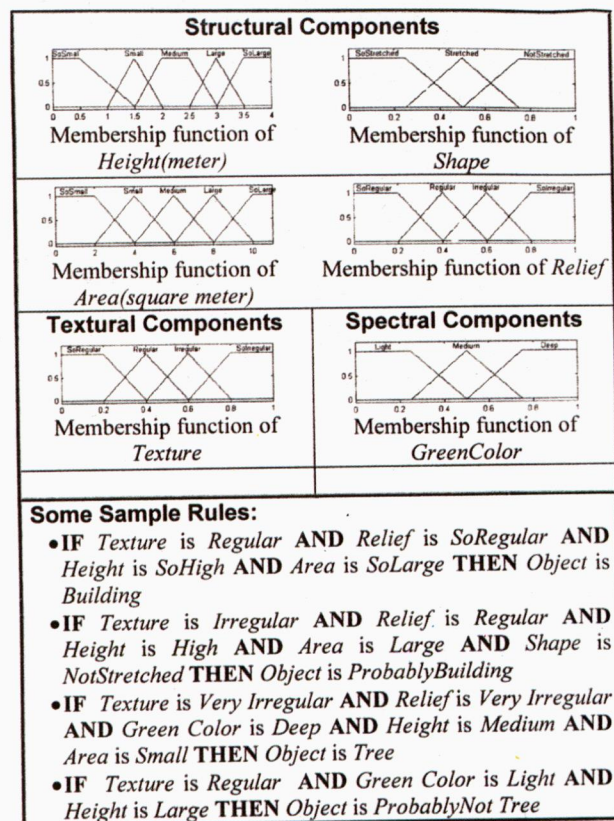
- بکارگیری مشخصه‌های توصیفی دیگر (غیر از مشخصه‌های ST) در روندهای استخراج و تشخیص
- قابلیت تعدیل قوانین بیان شده توسط شخص خبره در سیستم استنتاج

ادامه در صفحه ۲۸

مقادیر توابع عضویت و قوانین قابل بیان در استخراج محدوده و تشخیص نوع اشیاء بر مبنای متغیرهای زبانی بافت، ابعاد و شکل تعیین شده‌اند (شکل ۳ و ۴).



شکل ۳. متغیرها و برجسبهای زبانی، توابع عضویت و نمونه‌هایی از قوانین بیان شده در روند استخراج



شکل ۴. متغیرها و برجسبهای زبانی، توابع عضویت و نمونه‌هایی از قوانین بیان شده در روند تشخیص

طبقه‌بندی تصاویر چند طیفی سنجش از دور با استفاده از روش فازی-عصبی

نویسنده: مهندس اصغر میلان لک
گروه مهندسی فتوگرامتری و سنجش از دور
دانشگاه مهندسی نقشه برداری دانشگاه صنعتی فوایجه نصیر الدین طوسی

milan@ncc.neda.net.ir

بوده و در زمان کمتری این اطلاعات حاصل گردد، این امر مطلوبتر خواهد بود.

همچنین، در بهنگام کردن نقشه‌ها استفاده از تکنیکهایی که زمانبری کمتری داشته باشند و هزینه کمتری به سیستم تحمیل کنند، بسیار سودمند است. اکنون در این میان، با توجه به این مساله که تصاویر ماهواره‌ای طیف وسیعی از اطلاعات را با توجه به وسعت باندهای تصویربرداری در اختیار کاربران قرار می‌دهند؛ استخراج اطلاعات از تصاویر ماهواره‌ای به عنوان یکی از راههای به دست آوردن اطلاعات سریع و آسان مورد توجه کاربران قرار گرفته است^[۱]. شایان ذکر است ماهواره‌های که در چند باند اطلاعات را جمع‌آوری می‌نمایند، از اهمیت بیشتری برخوردارند زیرا قدرت تفکیک طیفی این ماهواره‌ها بسیار بالاست و در نتیجه اطلاعات بیشتری را در اختیار ما قرار می‌دهند. این اطلاعات باید به بهترین شکل با کمترین خطا استخراج شوند. به طور کلی اطلاعاتی را که ما در دورکاوی مورد استفاده قرار می‌دهیم به سه گروه عمده زیر تقسیم می‌شود.^[۱]

1. point operation (مثال: histogram modification)

2. neighbourhood operation (convolution, classification,...)

3. morphological operation

در گزینه اول، روی تک تک پیکسلها بحث می‌شود. ولی در گزینه دوم، از پیکسلهای همسایه نیز در محاسبات استفاده می‌گردد. در بحث دوم، مبحث طبقه‌بندی عوارض با توجه به اهمیتی که دارد، مورد بحث این مقاله قرار می‌گیرد. طبق تعزیف، تشخیص و

چکیده

استخراج اطلاعات از تصاویر ماهواره‌ای با توجه به صرفه‌جویی در زمان و هزینه، در دسترس بودن همیشگی و وسعت منطقه تحت پوشش، به عنوان یک راه حل برای کشورهایی مطرح است که قادر به این تکنیک پوششی مناسب هستند.^[۱] یکی از راههای به دست آوردن این اطلاعات، استفاده از طبقه‌بندی تصاویر ماهواره‌ای است. امروزه محققان بسیاری روی طبقه‌بندی تصاویر ماهواره‌ای کار کرده و روش‌های مختلفی در این زمینه ارائه نموده‌اند. یکی از این روشها استفاده از تکنیک فازی - عصبی به منظور طبقه‌بندی تصاویر ماهواره‌ای است که در این مقاله به معرفی این تکنیک خواهیم پرداخت. از مزایای این تکنیک، سرعت بسیار بالای آن در مقایسه با روش‌های مطرح موجود مثل روش طبقه‌بندی بر اساس بیشترین شباهت^[۱] است و این در حالی است که از نظر دقت نیز جوابهایی را با دقت بالا در اختیار محققان قرار می‌دهد.

۱. مقدمه

در امر توسعه پایدار در اختیار داشتن اطلاعات بروز و کامل از سطح زمین، چه در زمینه اطلاعات توصیفی و چه در زمینه اطلاعات مکانی، امری ضروری به نظر می‌رسد و هر قدر اطلاعات ما از زمین بیشتر، بهنگام و دقیقتر باشد تصمیم گیریهای ما برای سطح زمین با دقت بیشتری همراه بوده و نتایج مطلوبتری نیز به همراه خواهد داشت از طرف دیگر، هزینه تولید اطلاعات و سرعت تولید اطلاعات برای ما امری مهم است؛ به عبارت دیگر هر قدر هزینه تولید اطلاعات پایین

اول، بافرض توزیع نرمال کلاسها، تخمینی از سهم کلاسها به دست می آورد. در قدم دوم، موتور استنتاج مینیمم و یا موتور استنتاج ضرب را برای طبقه‌بندی تصویر مورد استفاده قرار داده و در پایان از یک غیرفازی ساز برای تعیین خروجی استفاده می‌کند. بعد از بیان تئوری مطلب، روش گفته شده روی سه باند داده‌های ماهواره‌های لندست مورد آزمایش قرار گرفته و نتایج حاصل با نتایج به دست آمده از روش کمترین فاصله مورد مقایسه قرار گرفته است که نتایج آن در ادامه ارائه خواهد شد.

۲. ساختار ریاضی موتورهای استنتاج مورد استفاده در این مقاله

۲.۱. موتور استنتاج مینیمم

ما در موتور استنتاج مینیمم، از استنتاج مبتنی بر قواعد جداگانه با ترکیب اجتماع، استلزم مینیمم ممداňی و عملگر \min برای تمامی نرم‌ها و \max برای تمامی نرم‌ها استفاده می‌کنیم و به طور خلاصه داریم.^[۶]

$$\mu_B(y) = \max_{I=1}^M \left[\sup_{x \in U} \min_{A_I} (\mu_A(x), \mu_{A_1}(x_1), \dots, \mu_{A_n}(x_n), \mu_{B_I}(y)) \right]$$

بدین معنی که با داشتن مجموعه فازی A_1 در U ، موتور استنتاج مینیمم مجموعه فازی B را به ما می‌دهد.

۲.۲. موتور استنتاج ضرب

ما در موتور استنتاج ضرب، از استنتاج مبتنی بر قواعد جداگانه با ترکیب اجتماع، استلزم حاصلضرب ممداňی و ضرب جبری برای نرم‌ها و \max برای نرم‌ها استفاده می‌کنیم و به طور خلاصه موتور استنتاج حاصلضرب را بدین شکل بازنویسی می‌کنیم.

طبقه‌بندی عوارض به صورت اتوماتیک را کلاسه‌بندی^۲ می‌گویند. یکی از روش‌های بسیار خوب برای به دست آوردن اطلاعات از تصاویر سنجش از دور بخصوص برای تصاویر ماهواره‌ای که قدرت تفکیک طیفی بالای دارند، کلاسه‌بندی این تصاویر است. برای این منظور تاکنون روش‌های مختلفی مثل بیشترین شباهت و کمترین فاصله^۳ به کار رفته است. هر کدام از این روش‌ها مزايا و معایب خاص خود را دارند که ازین این روش، روش بیشترین شباهت با توجه به انعطاف‌پذیری بالای آن نتایج بهتری به دست می‌دهد. ولی عیب این روش، در زمان مورد نیاز آن برای طبقه‌بندی تصاویر است که به زمان زیادی برای این منظور احتیاج دارد و محاسبات آن بسیار زیاد و وقت‌گیر است. عیب دیگر این روش این است که تمام پیکسلهای موجود در مرز بین نواحی مختلف را به یکی از کلاسها نسبت می‌دهد در حالی که شاید به هیچ‌یک از کلاسها می‌موجود متعلق نباشد. روش کمترین فاصله نیز یکی دیگر از روش‌های موجود در این زمینه است که اساس کار این روش بر مبنای فاصله هر پیکسل از کلاس مورد نظر می‌باشد که مانند روش بیشترین شباهت تمام پیکسلهای مرز بین نواحی مختلف را به یکی از نواحی کلاسها نسبت می‌دهد. ورود تئوری مجموعه فازی، موارد بسیاری از قبیل سیستمهای کنترل فازی، پردازش تصویر فازی و کلاسه‌بندی فازی داده‌های سنجش از دور را دربرمی‌گیرد. طبقه‌بندی فازی، سهم هر کلاس را در پیکسل تخمین می‌زند و در محاسبات، یک پیکسل را به عنوان یک واحد متلاشی شدنی در نظر گرفته و در نتیجه عبارت جدید یک پیکسل - چندین کلاس، اطلاعات زیادی در مورد پیکسل در اختیار ما خواهد گذاشت.^[۲] کلاسه‌بندی با استفاده از الگوریتم فازی c-means توسط Bezdek و همکارانش برای کلاسه‌بندی تصاویر ماهواره‌ای ایجاد شده^[۳] و توسط Cannon و همکارانش در طبقه‌بندی نظارت نشده داده‌های سنجش از دور تکمیل شده است.^[۴] روش Wang، حداکثر درستمایی قدیمی را با انجام یک پیش‌پردازش میانگین فازی و ماتریس واریانس کواریانس فازی اصلاح کرد.^[۵] ما در این مقاله یک روش طبقه‌بندی فازی و عصبی صریح برای تصاویر چند طیفی سنجش از دور ارائه خواهیم کرد که این روش در سه مرحله، عمل کلاسه‌بندی را انجام می‌دهد. در قدم

$$f_{b,c}(x_b) = \exp\left(-\frac{(x_b - \mu_{b,c})^2}{2*\delta_{b,c}^2}\right)$$

در فرمول بالا $\mu_{b,c}$ میانگین کلاس c در باند b است.
 x_b مقدار روشنایی پیکسل چند طیفی در باند b بوده و برابر است با:

$$x_b = [x_1, x_2, \dots, x_b, \dots, x_B]^T$$

δ^* انحراف معیار مدل شده کلاس c در باند b است و برابر است با:

$$\delta^* = \alpha_{b,c} \delta_{b,c}$$

در فرمول بالا $\delta_{b,c}$ انحراف معیار کلاس c در باند b است.

$\alpha_{b,c}$ فاکتور تعديل کننده بوده و برابر است با:

$$\alpha_{b,c} = 0.6 * P_{b,c} + 0.22$$

که در این فرمول $P_{b,c}$ برابر است با:

$$P_{b,c} = \frac{T_{b,c}}{\sum_{i=1}^N T_{b,i}}$$

در فرمول بالا داریم:

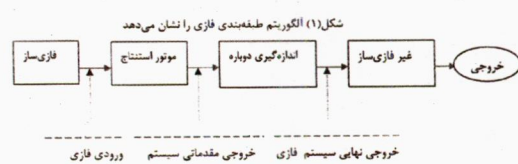
N تعداد کلاسها و T تعداد پیکسل هایی است که به میانگین کلاس نزدیک است. اکنون با توجه به تابع تعلق گویند با خصوصیات ذکر شده در بالا می توان داده های فازی را برای تمام پیکسلهای تصویر آماده نمود. در نتیجه ورودی سیستم فازی برابر خواهد بود با:

$$\mu_B^1(y) = \max_{l=1}^M \left[\sup(\mu_A^1(x) \prod_{i=1}^n \mu_{A_i^l}(x_i) \mu_{B^l}(y)) \right]$$

بدین معنی که با داشتن مجموعه فازی A^1 در U ، موتور استنتاج مینیمم مجموعه فازی B^1 را به ما می دهد. موتورهای استنتاج حاصلضرب و مینیمم، مهمترین موتورهای استنتاج مورد استفاده در سیستمهای فازی و کنترل فازی هستند و مهمترین مزیت آنها در سادگی محاسباتشان است. این مساله بخصوص برای موتور استنتاج حاصلضرب برقرار است.

۳. فرآیند طبقه‌بندی فازی صریح

طبقه‌بندی فازی - همانگونه که در شکل ۱ ملاحظه می شود - بدین گونه عمل می کند که در مرحله اول از یک فازی ساز برای ورود داده ها به سیستم استفاده می کند که فازی ساز مورد استفاده فازی ساز گویند خواهد بود. در مرحله دوم موتور استنتاج مینیم، برای کلاسه‌بندی استفاده می شود. بعد از این مرحله دوباره عمل اندازه گیری انجام می شود. در نهایت، از یک غیر فازی ساز برای به دست آوردن خارجی استفاده می شود که در اینجا از غیر فازی ساز ماکریم برای این منظور استفاده می شود.[۷] شکل ۱، آلگوریتم طبقه‌بندی فازی را نشان می دهد.



همانگونه که در بالا نیز اشاره شد، ما تابع تعلق را تابع نرمال انتخاب کرده ایم، چون این تابع یک مدل توزیع پر قدرت را نشان می دهد و همچنین مدل های خطی نه قادر به بیان صحیح و درست توزیع طبیعی کلاسها هستند و نه توزیع کلاسها یکنواخت است. در نتیجه برای تابع تعلق کلاسها می توان نوشت:

۲. اگر از موتور استنتاج ضرب استفاده شود:

$$F_i' = \prod (f_{b,i}(x_b)) \quad b=1, 2, \dots, B$$

بعد از این مرحله بلا فاصله برای بهبود نتایج در مرحله آموزش مجدد روی نمونه ها عمل اندازه گیری انجام می شود و درنهایت بردار نهایی محصولات فازی به صورت زیر خواهد بود.

$$Fop = [F_1(\underline{x}), F_2(\underline{x}), \dots, F_N(\underline{x})]^T$$

در فرمول بالا داریم:

$$F_i(\underline{x}) = \frac{F_i'(\underline{x})}{\sum_{j=1}^N F_j'(\underline{x})}$$

۵. غیر فازی سازی

در مرحله بعدی طبقه بندی فازی از غیر فازی ساز مانکزیم برای به دست آوردن نتایج نهایی استفاده می شود که بدین صورت بیان خواهد شد؛ یک پیکسل به کلاس c تعلق خواهد داشت اگر رابطه زیر برای پیکسل فوق برقرار باشد:

$$\forall i \in 1, 2, \dots, N, \quad i \neq c, \quad F_c(\underline{x}) \geq F_i(\underline{x})$$

تمام مراحل فوق برای سه کلاس در دو باند در شکل ۲ رسم شده است.

شکل ۲، الگوریتم طبقه بندی فازی صریح برای دو باند و سه کلاس را نشان می دهد.

۶. کاربرد نتایج در کار عملی

شکل ۳، ناحیه مورد مطالعه را در سه باند (باند ۳ و ۴ و ۵) ماهواره Landsat TM را نشان می دهد که قدرت تفکیک آن 30×30 متر است. گفتنی است که ناحیه فوق در منطقه اهواز قرار دارد. این تصویر در واقع گوشه ای از تصویر کلی است که شامل 1141×961 پیکسل

$$F_{ip} = \begin{bmatrix} f_{1,1}(x_1) & f_{1,2}(x_1) & f_{1,N}(x_1) \\ f_{2,1}(x_2) & f_{2,2}(x_2) & f_{2,N}(x_2) \\ f_{B,1}(x_B) & f_{B,2}(x_B) & f_{B,N}(x_B) \end{bmatrix}$$

ابعاد این ماتریس برابر است با $B \times N$ که N تعداد کلاسها و B تعداد باندهاست. این ماتریس به عنوان ورودی موتور استنتاج در مرحله آنالیز داده ها مورد استفاده قرار می گیرد.

۴. موتور استنتاج

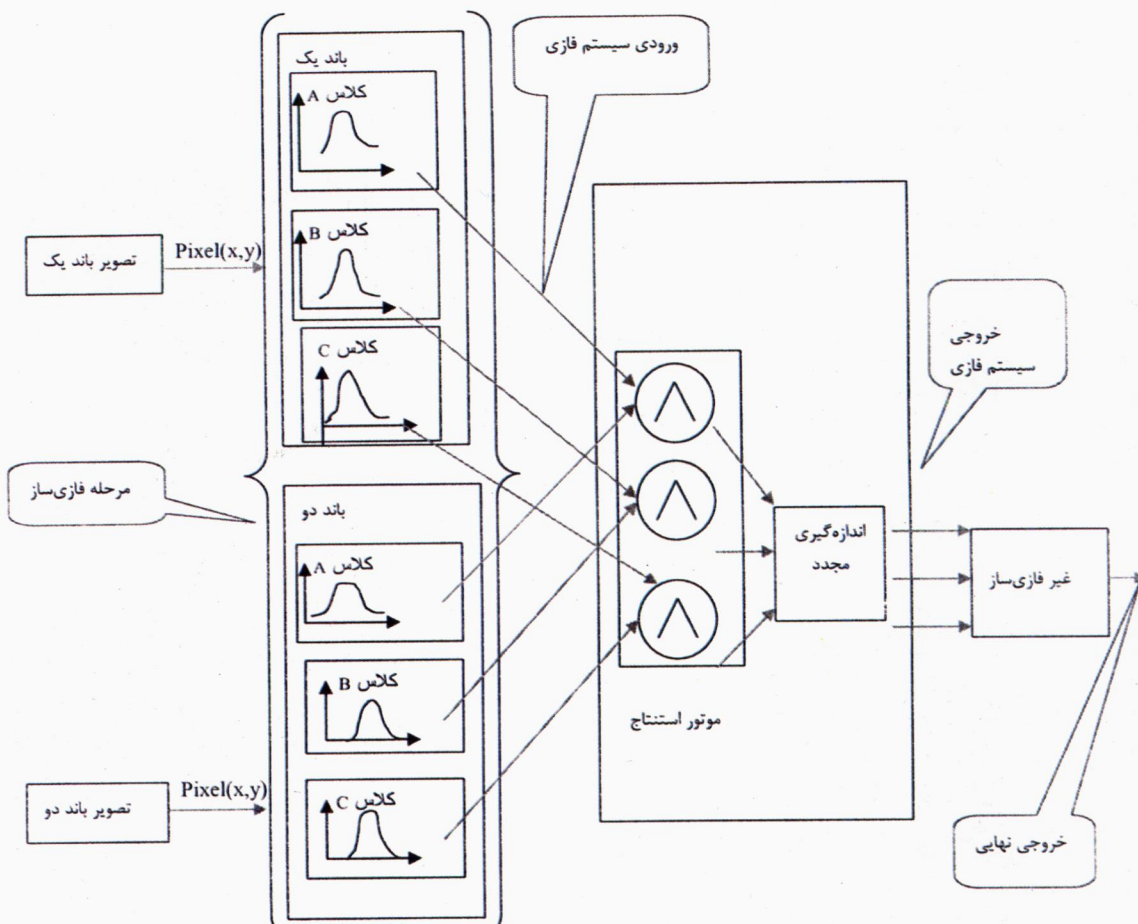
انسانها اغلب در برخورد با مسائل روزانه یک راه حل ساده به کار می بردند. اما تاثیر اصلی آن را می توان در این چند کلمه خلاصه نمود: با کار روی فرضیات نادرست، بهترین نتایج را پیدا می کنیم. قانون استنتاج فازی که از این اصل استفاده می کند؛ قانون مینیمم است. از طرف دیگر، فقدان اطلاعات مربوط به وابستگی کلاسها نشان می دهد که طبقه بندی فازی کلاسها ایده آل نخواهد بود چون کلاسها یکی وابستگی بالایی دارند تابع تعلق فازی بالایی نخواهند داشت. بنابراین مقادیر بالای تابع تعلق فازی به میزان بسیار بالایی به مقادیر تابع احتمال آن کلاس نزدیک خواهد بود. در نتیجه کمترین مقدار فازی برای همه باندها، احتمالاً بیشترین شباهت را به تابع تعلق فازی خواهد داشت. موتور استنتاج فازی یک ماتریس را به عنوان ورودی فازی به کار خواهد برد که در مرحله فازی ساز تولید شده است. در این مرحله یک بردار ابتدایی تولید خواهد شد که برابر است با:

$$Fop = [F_1'(\underline{x}), F_2'(\underline{x}), \dots, F_N'(\underline{x})]^T$$

در فرمول بالا داریم:

۱. اگر از موتور استنتاج مینیمم استفاده شود:

$$F_i' = \text{Min}(f_{b,i}(x_b)) \quad b=1, 2, \dots, B.$$



شکل ۲

کلاس زمین کشاورزی دارای دقیقیت بهتری نسبت به روش کمترین فاصله است ولی در این کلاسها تفاوت محسوسی وجود ندارد. مساله دیگر در این زمینه این است که روش طبقه‌بندی فازی - عصبی نرم و صاف است در حالی که در روش کمترین فاصله اینگونه نیست و در روش کمترین فاصله، مرازها بهتر استخراج می‌شود. همچنین از نظر زمان دور روش تفاوت محسوسی باهم ندارند.

شکل ۳، ناحیه مورد مطالعه را نشان می‌دهد.



شکل ۳

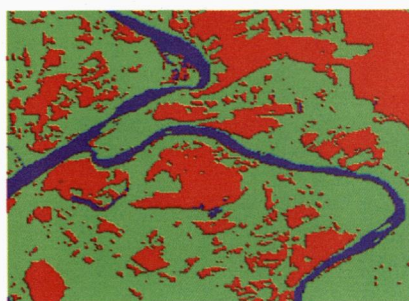
است. ما در ناحیه فوق سه کلاس شامل کلاس رودخانه، کلاس زمین لمیزرع و کلاس زمین کشاورزی را در نظر گرفتیم. برای شناسایی نواحی فوق در تصویر با استفاده از روش فازی - عصبی یک برنامه به زبان مطلب نوشته شد. در مرحله نخست برای هر کلاس، یک سری پیکسل از تصویر استخراج کردیم که اشکال ۴ تا ۶ نواحی مشخص شده را نشان می‌دهد. این نمونه‌ها در مرحله آموزش مورد استفاده قرار گرفت. برای اینکه کارایی این روش مشخص گردد، نتایج به دست آمده با نتایج روش کمترین فاصله مقایسه گردیده است. در واقع برنامه از هر سه روش برای طبقه‌بندی استفاده می‌کند که نتایج هر سه روش در اشکال ۷ و ۸ و ۹ آمده است. با توجه به اشکال فوق می‌توان نتیجه گیری کرد که روش فازی - عصبی در مقایسه با روش کمترین فاصله از لحاظ استخراج کلاس زمین لمیزرع و بهتری است. همچنین این روش در استخراج کلاس زمین لمیزرع و

۱۰. نتیجه گیری

ما در این مقاله یک روش جدید برای طبقه‌بندی فازی ارائه نمودیم که عملکردهای امیدبخشی را بخصوص در زمان طبقه‌بندی نشان می‌دهد. با ورود سنجنده‌های جدید که داده‌ها را در بد وسیعی از لحاظ قدرت تفکیک طیفی جمع آوری می‌کنند، آنها از اهمیت بالایی برخوردار شده‌اند (مانند HIRIS با نام ۱۹۲ طیفی). همچنین دوام و قدرت این روش دقیقاً به سادگی آن، استخراج بهینه داده‌ها از طریق طبقه‌بندی فازی صریح و بهره‌گرفتن از موتور استنتاج مینیمم بستگی دارد. مزیت دیگر طبقه‌بندی فازی در حذف یک باند یا اضافه کردن یک باند جدید به آن است؛ بدون آنکه ساختار آن به هم خورده باشد.

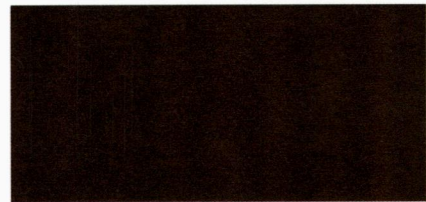


شکل ۷



شکل ۸

شکل ۴، کلاس رودخانه را نشان می‌دهد؛ تعداد پیکسلها در کلاس رودخانه برابر است با ۴۸ پیکسل.



شکل ۴



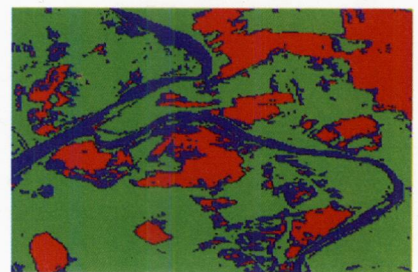
شکل ۵

شکل ۵، کلاس زمین لم یزرع را نشان می‌دهد؛ تعداد پیکسلها در کلاس زمین لم یزرع برابر است با ۳۴۸۰ پیکسل.
شکل ۶، کلاس زمین کشاورزی را نشان می‌دهد؛ تعداد پیکسلها در کلاس زمین کشاورزی برابر است با ۸۰۰ پیکسل.



شکل ۶

اشکال ۷ تا ۹ نتایج کلاسه‌بندی را نشان می‌دهد.
شکل ۷، نتیجه طبقه‌بندی فازی با موتور استنتاج مینیمم، شکل ۸، نتیجه طبقه‌بندی فازی با موتور استنتاج ضرب و شکل ۹، نتیجه طبقه‌بندی کمترین فاصله را نشان می‌دهد.



شکل ۹

۱۱. پانوشت‌ها

1-Maximum-Likelihood

2-Classification

3- Minimum Distance

۱۲. مراجع

[۱] ولدان زوج، محمد و اصغر میلان لک: ارزیابی مدل‌های ریاضی سه بعدی DLT و پارامترهای مداری جهت تصحیح هندسی تصاویر ماهواره‌ای با آرایش خطی، پنجمین کنفرانس بین‌المللی عمران، صص ۳۳-۲۷، ۱۳۷۹.

[۲]Serpico,S.B.and Roli,F., Classification of multisensor remote-sensing images by structured neural networks,IEEE Trans.Geosci.Remote Sensing,vol.33,pp.562-578,Maay 1995.

[۳] Bezdek,J.C.,Enrlich,R. and Full,W.,FCM:The fuzzy c-means clustering algorithm,Comp.,vol.10,pp.191-203,1984.

[۴] Cannon,R.L.,Dave,J.V.,Bezdek,J.C. and Trivedi,M.M,Segmentation of a thematic mapper image using the fuzzy c-means clustering algorithm,Trans.Geosci.Remote Sensing,vol.GE-24,pp.400-408,May 1986.

[۵] Wang,F.,Fuzzy supervised classification of remote sensing images,IEEE Trans.Geosci.Remote sensing,vol.28,pp.194-201,1990.

[۶] ای وانگ: سیستمهای فازی و کنترل فازی، ترجمه م. تشنه لب، ن. صفارپور، د. افیونی، چاپ اول، انتشارات دانشگاه صنعتی خواجه نصیر الدین طوسی، ۱۳۷۸.

[۷] Melgani,F.,Bakir,A.R. and Saleem,M.R.,An explicit fuzzy supervised classification method for multispectral remote sensing images,IEE Trans.Geosci.Remote Sensing,vol.38.NO.1.January 2000.

مشخص نمودن حوضه آبریز با استفاده از GIS

(Watershed Delineation Using GIS)

نویسنده: مهندس غلامرضا کریم‌زاده

رئیس اداره پژوهش‌های توپوگرافی اداره کل GIS سازمان نقشه‌برداری کشور

Karimzad@ncc.neda.net.ir

نمود. به عبارت دیگر می‌توان ضمن مشخص کردن محدوده حوضه آبریز، زیر‌حوضه‌های آن را نیز تفکیک کرد. مرز حوزه خطي فرضی است که محدوده حوضه را مشخص می‌کند.^۴ خط تقسیم آب، خطي فرضی است که حوضه‌های مختلف را از یکدیگر مجزا می‌سازد و از به هم پیوستن خط الرأسهای ارتفاعات به دست می‌آید. رواناب بارندگی‌هایی که خارج از مرز حوضه می‌بارند، به نقطه تمرکز^۵ حوضه نمی‌رسد.^۶ بهر تقدیر، برای مشخص کردن حوضه آبریز در ناحیه مورد مطالعه از روش خاصی بهره گرفته شده که مراحل عملیاتی آن مطابق با ترتیب و توالی ذکر شده در این مقاله قابل اجراست.

ایجاد DEM و مدل سایه روش

پستی و بلندیها

توابع مربوط به نورپردازی^۷، اثر تابش نور را بر یک سطح سه بعدی به نمایش می‌گذارد. مدل سایه روش پستی و بلندیها با استفاده از داده‌های ارتفاعی رقومی (DEM) ساخته می‌شود. موقعیت منبع نور طوری انتخاب می‌شود که سایه کافی برای درک

مقدمه

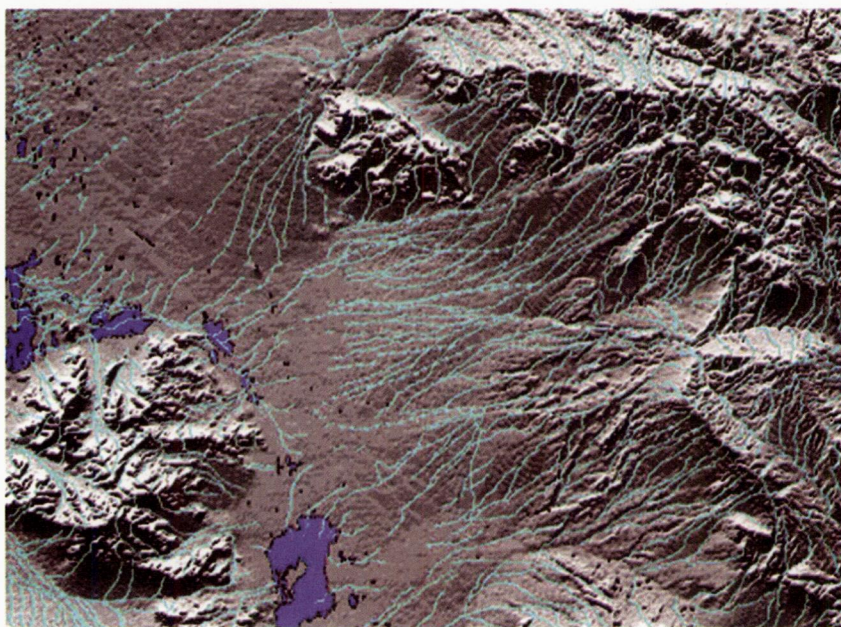
عوامل بسیار زیادی بر حجم و میزان رواناب حوضه‌های آبریز مؤثر هستند که از آن جمله می‌توان به خصوصیات خاک‌شناسی حوضه، پوشش گیاهی، آب‌شناسی، زمین‌شناسی، اقلیم‌شناسی، بار رسوب حوضه و عوامل انسانی اشاره کرد. اما در این میان، خصوصیات هندسی حوضه‌ها اثرات قابل توجهی را بر حجم رواناب و میزان آبدی حوضه دارد. پارامترهای هندسی مانند شکل حوضه، مساحت و محیط حوضه، طول آبراهه اصلی، شب و ارتفاع حوضه – که عوامل مورفومنtri نیز نامیده می‌شوند – وضع ظاهری حوضه آبریز را نشان می‌دهند و با رواناب حوضه یا شدت سیلابها دارای روابط مشخصی هستند. امروزه بسیاری از تحلیلهای هیدرولوژیکی به کمک نرم افزارهای GIS قابل اجراست که پرداختن به یکایک آنها از حوصله این گفتار خارج است. نرم افزارهای GIS چنین تحلیلهایی را با بهره گیری از توابع نظیر تابع شبکه، نزدیکی، انتشار و جریان^۸، روی مدل رقومی زمین انجام می‌دهند. با این نرم افزارها می‌توان مرز حوضه آبریز و خط تقسیم آب را با استفاده از توپوگرافی حوضه مشخص

چکیده

حوضه آبریز، پایه و اساس بسیاری از تحلیلهای هیدرولوژیکی را تشکیل می‌دهد. حوضه‌های آبریز واحدهای هیدرولوژیکی هر ناحیه جغرافیایی را می‌سازند. از این‌رو مطالعه و بررسی حوضه‌های آبریز هر ناحیه، اطلاعات هیدرولوژیکی آن ناحیه را تکمیل می‌نماید.

اگرچه در روش سنتی، تعیین حوضه آبریز به طور دستی و با استفاده از منحنی میزانهای نقشه توپوگرافی انجام می‌شود ولی در این مقاله، به تشریح روش نوینی پرداخته شده که در آن تعیین محدوده حوضه آبریز با استفاده از ابزار GIS و یک مدل ارتفاعی رقومی (DEM) انجام شده است.

ناحیه مورد تحقیق رودخانه تنگوئیه را در بر می‌گیرد که توسط بلوک سیرجان از نقشه‌های ۱:۲۵۰۰۰ پوشش داده می‌شود. در این تحقیق، از نرم افزار ArcView به همراه برنامه کاربردی Avenue، نوشته شده توسط گروه منابع طبیعی مین‌سوتا^۹، بهره گرفته شده است.



شکل ۲. Sink ها در منطقه مورد مطالعه، به صورت سطوح آبی رنگ مشخص شده‌اند

منحنی میزان هستند، ارتفاع منحنی را گرفته و بقیه سلولها درونیابی می‌شوند. وجود چاهکها در مناطقی که منحنی میزانها در مجاورت یک آبراهه به هم نزدیک می‌شوند، همواره امکان پذیر است. حذف چاهک پردازشی تکراری^{۱۱} است و به عنوان یک «پردازش بد ضروری» نگریسته می‌شود. با این نگرش، Van Deursen(1995)، روش خاصی را به منظور پایان بخشیدن به پردازش حذف گودال^{۱۲} برای مقادیر معینی از حجم، سطح یا عمق گودی^{۱۳} طی دوره‌های بارندگی، ارائه داد. گودیها در بعضی از سطوح رواناب، به مثابه گودال رفتار کرده و در برخی دیگر مملو از آب بوده و به صورت بخشی از یک کانال در نظر گرفته می‌شوند.

حذف این ایرادها با استفاده از عوارض هیدروگرافی موجود، برای تولید حوضه‌های آبریز دقیق، الزامی است.

سلول کوچکتر است. به عبارت ساده‌تر این ایراد از پایین بودن دقت DEM نشأت می‌گیرد. همچنین چاهک در نواحی با پستی و بلندیهای ملایم (نواحی تخت) از طریق خطاهای درونیابی اتفاق می‌افتد. چاهکها با گستن ارتباطات توپولوژیک زهکشی موجب بروز مشکلاتی می‌شوند و باید برای ایجاد شبکه پیوسته جهت جریان^{۱۰}، حذف شوند. نمونه‌ای فرضی از چاهک در شکل ۱ نمایش داده شده است.

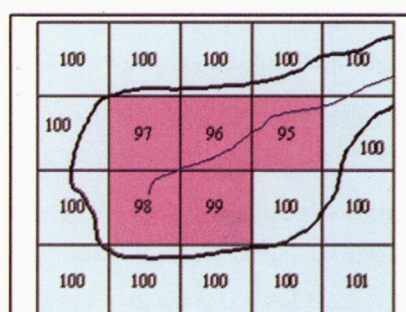
در شکل ۱، سلولهایی که شامل

آسان پستی و بلندیها به وجود آید. مشاهده اشکال پستی و بلندیها از روی مدل (یا تصویر)، دریافت ذهنی بهتری را نسبت به اطلاعات موجود روی برگ نقشه ایجاد می‌نماید.

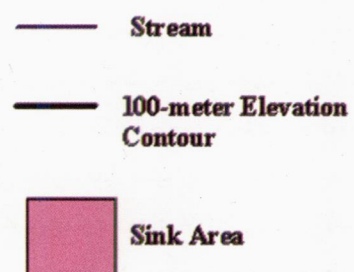
در این تحقیق، از مدل ارتفاعی رقومی با ابعاد پیکسل ۵۰ متر استفاده شده است. نورپردازی با زاویه ۴۵ درجه و از سمت شمال شرق صورت گرفته است. ابعاد منطقه مورد نمایش، بیش از ۷۵ درجه طول و ۱۰ درجه عرض جغرافیایی را پوشش می‌دهد.

پیش‌پردازش DEM

قبل از مدل‌سازی هیدرولوژیکی لازم است برخی از پیش‌پردازشها را به منظور برطرف کردن ایرادهای موجود در داده‌ها انجام داد. این پردازشها می‌تواند صحت DEM را به شدت افزایش دهد. روشهای تولید DEM بندرت شامل الگوریتم «اجرای زهکشی^۸» برای برطرف نمودن این ایرادهایت. اینچنین ایرادهایی که اغلب در DEM خام دیده می‌شود، «چاهک^۹» نامیده می‌شود. چاهک اغلب در دره‌های باریک ایجاد می‌شود؛ جایی که عرض دره از اندازه



شکل ۱. نمایشی از وقوع یک Sink فرضی



تعیین کرد که کدام قسمت (سلول) از این مسیر نسبت به دیگر قسمتها دارای آب بیشتری است. جریان انباشتی به صورت تعداد تجمعی همه سلولهایی محاسبه می‌گردد که به هر سلول واقع در پای شیب می‌ریزد. در یک سطح انباشت، مقدار هر سلول معرف تعداد کل سلولهایی است که به داخل یک سلول منحصر به فرد می‌ریزد. سلولهایی که انباشت بالایی دارند، نواحی با جریان متتمرکز بوده و می‌توانند برای شناسایی مجرای آبراهه‌ها استفاده شوند.

سطح انباشت نتیجه اجرایتابع انتشار^{۱۶} است. این تابع، که با استفاده از تکنیک‌های رسترنی اجرا می‌شود، پدیده‌هایی را ارزیابی می‌کند که با طی مسافت روی هم جمع می‌گردند. عملیات این تابع از یک یا چند نقطه شروع در تمام جهات به صورت جریان گام به گام و با محاسبه یک متغیر در هر گام انجام می‌پذیرد.

ج. طول جریان^{۱۷}

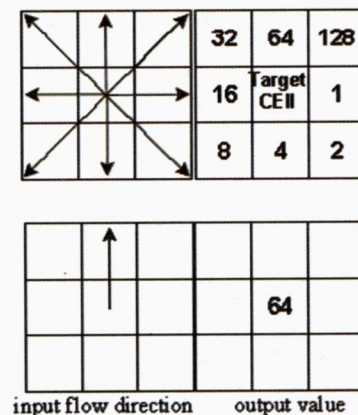
منظور از طول جریان عبارتست از طول طولیترین مسیر جریان داخل یک حوضه آبریز که «آبراهه اصلی» نامیده می‌شود. آبراهه اصلی به رودخانه‌ای گفته می‌شود که در خط القعر حوضه جریان داشته و رواناب زیر حوضه‌های مختلف به آن می‌ریزد. طول جریان اغلب به منظور محاسبه زمان تمرکز حوضه به کارمی‌رود. زمان تمرکز حوضه مدت زمانی است که دورترین نقطه آب نسبت به نقطه تمرکز لازم دارد تا مسیر خود را پیماید و به نقطه

ساختن حوضه آبریز لازم است که هر یک از سلولهای گردید، از لحاظ جهت، کدگذاری شوند.

تابع جهت جریان یک تابع کانونی است. برای سلولهای همسایه که به صورت یک ماتریس 3×3 قرار دارند، پردازشگر گردید در سلول مرکز (کانون) می‌ایستد و تعیین می‌کند که کدام سلول همسایه کمترین مقدار (پایین‌ترین مقدار ارتفاع) را دارد و سپس با توجه به اینکه جهت جریان همواره

چاهکها اغلب کوچک بوده و موجب می‌شوند تا حوضه‌های آبریز به طور صحیح مشخص نشوند. اگر آبراهه‌ای وجود نداشته باشد، ارتفاعات داخل ناحیه چاهک تا ارتفاع کناره‌های بیرونی چاهک بالا آورده می‌شوند. به عبارت ساده‌تر، چاهک پرمی شود تا آب قابلیت عبور پیدا نماید. ولی چنانچه آبراهه‌ای موجود باشد، ارتفاعات کناره‌های بیرونی به اندازه چاهک، پایین‌آورده می‌شوند تا امکان گذار آب فراهم شود.

در این فرآیند باید دقت شود که چاهکهای واقعی (موجود روی زمین) حذف نشوند. نمونه‌هایی از اینگونه چاهکها در جنوب غرب منطقه مورد مطالعه به چشم می‌خورد (شکل ۲).



شکل ۳. محاسبه جهت جریان برای سلول مرکز

تابعی از جهت ماکریم شیب است، در گردید خروجی مقداری را به سلول مرکزی منسوب می‌سازد. شیوه مقداردهی در گردید خروجی در شکل ۳ نمایش داده شده است. اگر جهت جریان برای سلول مرکز به سمت شمال باشد، بدین ترتیب در گردید خروجی به آن سلول، عدد ۶۴ تعلق می‌گیرد.

ایجاد پارامترهای سطح

الف. جهت جریان^{۱۸}

جهت جریان برای هر سلول DEM، از توابع کلیدی برای استخراج مشخصه‌های هیدرولوژیکی یک سطح به شمار می‌رود و در واقع اساس و پایه همه پردازش‌های بعدی مدل‌سازی حوضه آبریز را تشکیل می‌دهد. این تابع، جهت جریان خروجی از هر سلول را مشخص می‌سازد. برای هر سلول هشت جهت خروجی وجود دارد که مربوط به هشت سلول مجاور است. جهت جریان از طریق یافتن جهت ماکریم شیب از هر سلول تعیین می‌گردد. برای مشخص

ب. سطح انباشت^{۱۹}

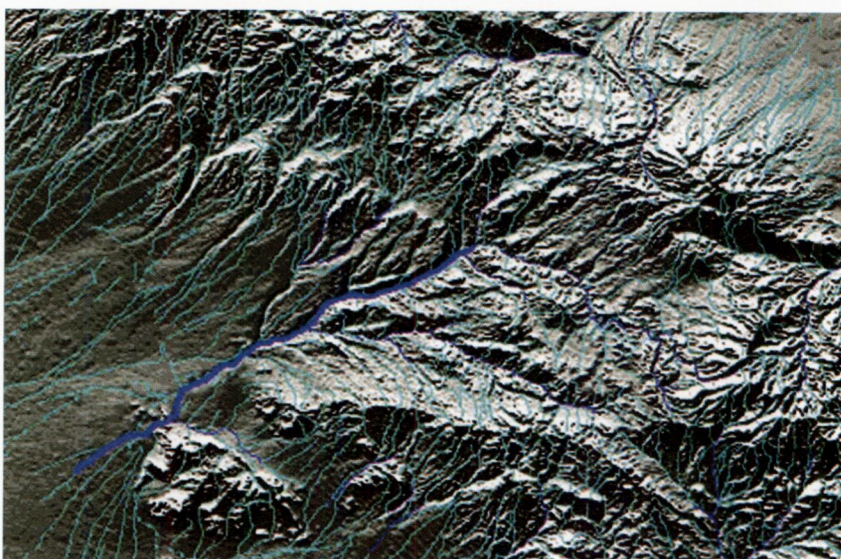
اگر مسیر جریان شناخته شود، می‌توان

در جدولی ذخیره شده است، به صورت یک لایه به پروژه ArcView اضافه می شود. پس از معرفی Theme مربوط به جهت جریان، و براساس نقاط اندازه گیری شده، حدود کلی آبریز و تمامی زیر حوضه های آن مشخص می شود (شکل ۵).

در این تحقیق نقاط مذکور در طول مسیر رودخانه تنگوئیه و با استفاده از نقشه توپوگرافی رقومی در مقیاس ۱:۲۵۰۰۰

جریان و انباشت جریان معرفی شده و مقداری به عنوان کمترین اندازه گردید سطح انباشت وارد می گردد. این مقدار روی تراکم شبکه آبراهه ها تأثیر دارد. به عنوان مثال، عدد ۲۵۰۰ تراکم مناسبی از شبکه آبراهه هارا برای مقیاس ۱:۲۵۰۰۰۰ ایجاد می نماید. این

موضوع از طریق مقایسه آبراهه ها با تراکم آبراهه های مشخص شده به روش فتوگرامتری قابل اثبات است (شکل ۴).



شکل ۴، شبکه آبراههها در منطقه مورد تحقیق، رودخانه تنگوئیه با خصائص خط پیشتری مشخص شده است.

برداشت و استخراج شده اند.
برای اینکه دید بهتری از حوضه آبریز ایجاد گردد، می توان «Hillshade Theme» را به عنوان «Brightness Theme» معرفی نمود (شکل ۶).

علاوه بر شیوه استفاده از نقاط اندازه گیری شده، امکان مشخص ساختن حوضه آبریز با انتخاب یک نقطه دلخواه در پنجه نمایش مدل رقومی زمین نیز وجود دارد. اما این پردازش نسبت به محلی که نقطه قرار داده می شود، حساس است. اگر

شایان ذکر است که تراکم شبکه آبراهه ها از شاخصهای تکامل شبکه هیدرولوژی محسوب می شود.

مشخص کردن حوضه آبریز

در این مرحله، حوضه آبریز با استفاده از یک سری نقاط اندازه گیری شده^{۱۹} مشخص می شود. این نقاط از مسیر رودخانه ای برداشت می گردند که در حوضه جریان دارد. مختصات این نقاط که

تمرکز بر سد.

در این تحقیق، به کمک نرم افزار ArcView، طول جریان برای هر سلول داخل حوضه محاسبه شده و مقدار هر سلول، طول جریان آن را تایک نقطه خروجی نشان می دهد.

شبکه آبراهه ها

شبکه آبراهه ها به مجموعه آبراهه های گفته می شود که در سطح حوضه به تخلیه روانابها می پردازند. این آبراهه ها می توانند به صورت رودخانه های دائمی، فصلی یا مسیل باشند. هر اندازه شبکه آبراهه یک حوضه متكامل تر باشد، تخلیه رواناب از آن حوضه بهتر و آسانتر انجام می شود.

این شبکه با اجرای تابع جریان یا جستجو^{۱۸} در GIS ایجاد می گردد. این تابع جستجوی هدایت شده ای را از یک نقطه شروع به سمت خارج به روش گام به گام و با استفاده از یک قاعده مشخص انجام می دهد.

در این تحقیق با کمک این تابع مسیر آبراهه ها روی مدل رقومی زمین مشخص می گردد. قاعده مورد استفاده، حرکت آب از سلول مبدأ به سلول مجاور با کمترین ارتفاع است. این عملیات تا رسیدن به سلولی که همه سلولهای مجاور آن دارای ارتفاعی بیشتر از آن سلول باشند، ادامه می یابد. این حالت می تواند یک گودال محلی یا مرز ناحیه مورد مطالعه باشد.

در این روش برای تعیین شبکه آبراهه ها، پارامترهای سطح یعنی جهت

10- Flow direction grid

11- Iterative

12- Pit

13- Depression

14- Flow Direction

15- Accumulation Surface

16- Spread Function

17- Flow Length

18- Stream or Seek Function

19- Gauges

۲۰- یکی از لایه‌های ایجاد شده در فرآیند تحقیق

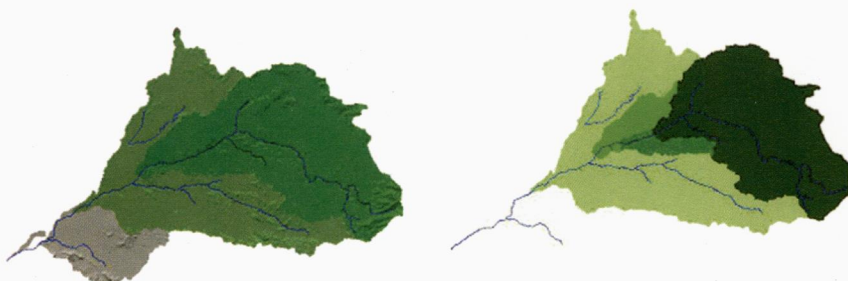
21- planimeter

22- curvemeter

منابع

- ۱- اصغری مقدم، محمدرضا؛ جغرافیای طبیعی شهر، هیدرولوژی و سیل خیزی شهر، انتشارات مسعودی، ۱۳۷۸.
- ۲- علیزاده، امین؛ اصول هیدرولوژی کاربردی، آستان قدس، ۱۳۷۶.

- ۳- Geographic Information Systems: A Management Perspective, 1993, 3rd Edition, by Stan Aronoff, Editor. WDL Publications, publishers.
- ۴- Minnesota GIS/LIS Consortium Spring Workshops 2001.
- ۵- Watershed Delineation in ArcView Bernie Engel Purdue University, February 8, 1999 \Water-Resource\Watershed Delineation in ArcView.htm.
- ۶- Using GIS for Flash Flood Hazard Mapping in Oman By Ghazi Al-Rawas, Dr. Magaly Koch, and Dr. Farouk El-Baz \Water-Resource\EOM Current Issues.htm.



شکل ۵. نمایش حوضه آبریز که با مدل سایه و روش حوضه تلفیق شده است.

شکل ۵. شکل حوضه آبریز و زیر-حوضه‌های

مربوطه

مشخص کردن حوضه آبریز و تعیین خصوصیات ژئومتری آن تمرکز نموده ولی این سیستم در اجرای سریع، دقیق و آسان بسیاری از تحلیلهای هیدرولوژیکی دیگر نیز از قابلیتها و توانمندیهای بالایی برخوردار است که تشریح هریک از آنها نیازمند گفatarهای جداگانه‌ای است.

نقشه بر مسیر یک جریان آب واقع نباشد، این فرآیند حوضه آبریز مورد انتظار را ایجاد نخواهد کرد. برای انتخاب دقیق نقطه، می‌توان از لایه Flow Accumulation^{۲۰} برای نمایش مسیرهای جریان استفاده نمود.

نتیجه‌گیری

نتایج این تحقیق روی حوضه آبریز رودخانه تنگوئیه نشان می‌دهد که این حوضه از لحاظ شکل در گروه حوضه‌های بادبزنی قرار دارد. این حوضه با دارا بودن شش زیر-حوضه، از لحاظ مساحت جزو-حوضه‌های بزرگ محسوب می‌شود. با تعریف و ایجاد توپولوژی از پلیگون‌های حوضه، مقادیر مساحت و محیط به طور خودکار در جدول اطلاعات توصیفی مربوطه ذخیره شده و برای تعیین مساحت و محیط حوضه دیگر نیازی به بکارگیری روش‌های سنتی و ابزارهایی مانند مساحت سنج^{۲۱} و منحنی سنج^{۲۲} نیست. اگرچه این مقاله بیشتر روی کارانی و موفقیت سیستم اطلاعات جغرافیایی در

پانوشتها

- 1- Minnesota
- 2- Network,proximity
- Spread and Stream function
- 3- Sub-basin
- ۴- اصغری مقدم، محمدرضا؛ جغرافیای طبیعی شهر، هیدرولوژی و سیل خیزی شهر، انتشارات مسعودی، ۱۳۷۸، ص. ۷۴.
- 5- Point of Concentration
- ۶- علیزاده، امین؛ اصول هیدرولوژی کاربردی، آستان قدس، ۱۳۷۶، ص. ۳۱۵.
- 7- Illumination
- 8- Drainage Enforcement
- 9- Sink

ارزیابی نسبی مشاهدات GPS تک و دو فرکانسه

R.Ghosh,P.Jayaprasad, B.Narender

مترجم: مهندس لطف الله عماد على

کارشناس ارشد ژئودزی مدیریت نقشه برداری فوزستان

emadali@ahvaz.ncc.ir

مثالها، مجدداً بازبینی شد.

روش انجام مشاهدات GPS

ده نقطه در منطقه ای به شعاع ۲۰ کیلومتر برای انجام مشاهدات GPS انتخاب شد. یک نقطه دیگر علاوه بر این نقاط، به عنوان نقطه مبنای انتخاب شده و بقیه این نقاط به عنوان نقاط Rover در پروژه در نظر گرفته شد. یک گیرنده دو فرکانسه و یک گیرنده تک فرکانسه در نقطه مبنای قرار داده شد. از آنجایی که بکارگیری همزمان دو گیرنده روی یک نقطه امکان پذیر نبود، گیرنده تک فرکانسه در نقطه دیگری با فاصله و جهت مشخص نسبت به نقطه مبنای کار گذاشته شد (هدف از این کار این است که مشاهدات در شرایط جوی کاملاً یکسان انجام پذیرد). گیرنده دو فرکانسه به منظور حذف اثرات Multipath، مجهز به یک آتنر Chock Ring شد. گیرنده های GPS در تمامی نقاط Rover یکی پس از دیگری، مستقر شده و مشاهدات GPS را برای مدت یک ساعت جمع آوری کردند. سایر پارامترهای مربوط به اندازه گیری شامل حداقل زاویه ارتفاعی ۱۰°، نرخ برداشت اطلاعات ۱۰ ثانیه و پارامترهای جمع آوری

هند و اطراف آن با استفاده از دو سری

گیرنده تک فرکانسه و دو فرکانسه انجام

شد. اهداف این پروژه عبارتست از:

- ارزیابی تاثیر مدل های یونسferi

گوناگون موجود بر دقت اندازه گیریها

- ارزیابی دقت اندازه گیری نقاط با

استفاده از گیرنده های تک فرکانسه و

دو فرکانسه

- بررسی دقت اندازه گیری طول مبنای

(طول باز) با استفاده از گیرنده های

تک و دو فرکانسه

- ارزیابی تاثیر مدت زمان قرائت

بر دقت مختصات

طراحی پروژه

هدف از این پروژه، تعیین مختصات چند نقطه در داخل و اطراف احمدآباد با استفاده از گیرنده های تک فرکانسه و دو فرکانسه بود. همچنین مطالعه ای به منظور مقایسه در خصوص انجام مشاهدات با گیرنده های تک فرکانسه و دو فرکانسه انجام شد. با مقایسه طول مبنای ای که دست آمده از GPS با طولهای واقعی ناشی از اندازه گیریهای مستقیم زمینی، دقت مختصات به دست آمده تایید شد. همچنین دقت اندازه گیریها با بررسی خطای بست

مقدمه

امروزه، سیستم تعیین موقعیت جهانی (GPS)، مختصات نقاط واقع بر سطح زمین را با دقتی بین یک متر (یا بهتر) تا ۱۰۰ متر، بسته به نوع گیرنده و روش جمع آوری مشاهدات اندازه گیری می کند. کمیت اصلی قابل اندازه گیری در GPS - که برای تعیین موقعیت، سرعت و زمان در دسترس ماست. شبه فاصله و فاز حامل است. ترکیب این کمیتها قابل اندازه گیری به روشهای گوناگون می تواند کمیتها دیگری را که قطعاً فوایدی خواهد داشت، ایجاد نماید. اما به هر حال، دقت کمیت اندازه گیری شده، کاملاً عاری از خطا نیست. منابع خطا ناشی از یونسferi ساعت ماهواره و گیرنده، چند مسیری شدن (Multipath)، وضعیت DOP، خطای AS (Selective Availability) و AS (Anti-Spoofing) است. گیرنده های دو فرکانسه تا حد زیادی خطای ناشی از یونسferi را حذف می کنند. سایر خطاهای نیز تا حد زیادی در روش اندازه گیری تفاضلی کا هاش می یابد. پروژه ای به منظور بررسی و پاسخگویی به بعضی از این فرضیه های علمی، برای اندازه گیری مختصات ده نقطه در بخش احمدآباد کشور

ارزیابی تاثیر مدل‌های یونسferیک گوناگون بر دقت مشاهدات دو فرکانس

مدل‌های یونسferیک گوناگونی که در این پروژه به کار گرفته شد؛ شامل مدل استاندارد، مدل محاسباتی، مدل جهانی / منطقه‌ای، مدل Klobuchar و عدم استفاده از مدل (No Model) بود. طول مبنای برای هر کدام از این مدل‌ها، بین نقطه مبنای نقاط Rover محاسبه شد. فایل اطلاعات پردازش شده (جدول ۱) انحراف معیار مختصات ژئودتیک را نشان می‌دهد. جدول ۱ نشان می‌دهد که دو حالت (عدم استفاده از مدل یونسferیک) و استفاده از مدل یونسferیک جهانی مقادیر انحراف معیار یکسانی را در مختصات نقاط نتیجه می‌دهند. نرم افزار SKI، چنان‌چه برای هر طول مبنای حداقل ۴۵ دقیقه مشاهده در نقطه مبنای داشته باشیم، می‌تواند از مدل یونسferیک محاسبه شده استفاده کند، در غیر این صورت، برای طول مبنای کمتر از ۲۰ کیلومتر مدل یونسferیک استاندارد به کار گرفته می‌شود. همانگونه که در جدول ملاحظه می‌شود، برای مشاهدات GPS یک ساعتۀ نوسان چندانی در مقادیر به دست آمده از هر کدام از مدل‌ها وجود ندارد، بجز در مورد نقطه شماره ۳ که اطلاعات GPS سه ساعتۀ موجود بوده که در این حالت تغییراتی در نتایج ناشی از تاثیر مدل ظاهر می‌شود. نتیجه اینکه مدل محاسباتی برای اطلاعات مشاهداتی یک ساعتۀ مناسب بوده و بنابراین از این به بعد کلیه مراحل این آزمایش با استفاده از مدل یونسferیک محاسباتی انجام شده است.

آنالیز پروژه انجام شده

با استفاده از بکارگیری مدل‌های یونسferیک گوناگون روی اندازه‌گیریهای GPS و نیز انجام مشاهدات با استفاده از گیرنده‌های تک و دو فرکانسی ارزیابی دقت این پروژه انجام شد.

اطلاعات در حالت فشرده برای هر نقطه در نظر گرفته شد.

دونوع از گیرنده‌های GPS در این پروژه به کار گرفته شد؛ سه گیرنده تک فرکانسی و دو گیرنده دو فرکانسی که همگی از نوع لایکا (Leica) هستند. پردازش اطلاعات با استفاده از نرم افزار SKI نسخه 2.3.1 انجام شد.

Sr. Baseline NO.Identification	Ionospheric Model Used	Standard (Geodetic coordinates) in m			Deviation
		Δ X	Δ Y	Δ Z	
1 Ref. _10	No model	0.0108	0.0474	0.0644	
	Standard	0.0108	0.0474	0.0645	
	Computed	0.0107	0.0471	0.0641	
	Global/Regional	0.0108	0.0474	0.0644	
	Klobuchar	0.0108	0.0474	0.0644	
2 Ref. _01	No model	0.0030	0.0124	0.0031	
	Standard	0.0030	0.0123	0.0032	
	Computed	0.0031	0.0122	0.0032	
	Global/Regional	0.0030	0.0124	0.0031	
	Klobuchar	0.0030	0.0124	0.0031	
3 Ref. _07	No model	0.0011	0.0040	0.0029	
	Standard	0.0011	0.0042	0.0030	
	Computed	0.0011	0.0041	0.0029	
	Global/Regional	0.0011	0.0040	0.0029	
	Klobuchar	0.0011	0.0040	0.0029	
4 Ref. _08	No model	0.0035	0.0105	0.0062	
	Standard	0.0035	0.0105	0.0062	
	Computed	0.0035	0.0105	0.0062	
	Global/Regional	0.0035	0.0105	0.0062	
	Klobuchar	0.0035	0.0105	0.0062	
5 Ref. _09	No model	0.0032	0.0087	0.0053	
	Standard	0.0031	0.0084	0.0051	
	Computed	0.0032	0.0086	0.0053	
	Global/Regional	0.0032	0.0087	0.0053	
	Klobuchar	0.0032	0.0087	0.0053	
6 Ref. _02	No model	0.0028	0.0075	0.0078	
	Standard	0.0028	0.0074	0.0077	
	Computed	0.0026	0.0071	0.0074	
	Global/Regional	0.0028	0.0075	0.0078	
	Klobuchar	0.0028	0.0074	0.0077	
7 Ref. _03	No model	0.0005	0.0006	0.0014	
	Standard	0.0013	0.0016	0.0043	
	Computed	0.0013	0.0045	0.0019	
	Global/Regional	0.0005	0.0006	0.0014	
	Klobuchar	0.0039	0.0051	0.0126	
8 Ref. _04	No model	0.0026	0.0066	0.0051	
	Standard	0.0025	0.0066	0.0050	
	Computed	0.0026	0.0067	0.0051	
	Global/Regional	0.0026	0.0066	0.0051	
	Klobuchar	0.0026	0.0067	0.0050	

جدول ۱. تاثیر مدل‌های یونسferیک گوناگون در انحراف معیار مختصات (مولفه‌های X, Y, Z)

Parameters	Selected input
Cut-off angle (deg.)	- 10
Tropospheric model	- Hopfield
Ionospheric model	- Computed
Solution type	- Standard
Ephemeris	- Broadcast

خطای بست، روی سه یا چهار نقطه انجام شد. مثلثهایی به واسطه انجام این مشاهدات، با اتصال سه نقطه ایجاد شد. طول مبنای های هر مثلث به طور مستقل و با در نظر گرفتن یک نقطه به عنوان نقطه مبدأ و سایر نقاط به عنوان نقاط Rover محاسبه شد. دو پارامتر برای بررسی عوامل موثر بر خطای بست در نظر گرفته شد که شامل مدت زمان مشاهده و هندسه نقطه مشاهده است.

اثر مدت زمان مشاهده بر خطای بست

آزمایشی به منظور آنالیز اثر زمان مشاهدات بر خطای بست، با استفاده از مشاهدات ۶ ساعته در دو مثلث انجام شد. مدت همزمانی بین نقاط مبدأ و نقاط Rover به ۴ بخش یک ساعته، دو ساعته، سه ساعته و چهار ساعته تقسیم شد. برای هر بازه زمانی، بردار طول مبدأ برای تمامی اضلاع مثلثها به طور مستقل محاسبه و خطای بست نیز محاسبه شد. نتایج مربوط به دو مثلث در جداول ۳.۲ و ۳.۴ خلاصه شده است. برای مثلث شماره ۱، فواصل مایل ۷۳ کیلومتر و برای مثلث شماره ۲، فواصل مایل برابر با $10/8$ ، $8/3$ و $2/5$ کیلومتر است.

Baseline Station	Residuals (Difference between Dual & Single Frequency observations)		
	Lat (cm)	Long (cm)	height (cm)
Ref. - 01	-46.83	9.78	-68.44
Ref. - 02	-44.13	-22.47	-68.08
Ref. - 03	-42.69	-24.57	-76.84
Ref. - 04	-42.42	-13.14	-72.26
Ref. - 07	-34.59	-15.96	-92.97
Ref. - 08	-15.96	-15.93	-83.1

جدول ۲. اختلاف بین مشاهدات تک فرکانسی و دو فرکانسی

گرفته شده برای استقرار گیرنده GPS محاسبه شد. اختلافها در فواصل، در جداول ۳.۲ و ۳.۳ نشان داده شده است.

بررسی صحت نتایج

بررسی صحت نتایج با استفاده از بررسی صحت فواصل و محاسبه خطای بست مثلثها، انجام شد.

بررسی طول مبنایها

ابتدا طول مبنایها با استفاده از مختصات به دست آمده از گیرنده های تک فرکانسی و

ارزیابی دقیقت اندازه گیری مختصات نقاط با استفاده از گیرنده های تک و دو فرکانسی

اطلاعات مشاهداتی GPS جمع آوری شده با گیرنده های تک و دو فرکانسی با استفاده از نرم افزار SKI نسخه ۲.۳.۱ پردازش شد. طول مبنایها بین نقطه مبدأ و هر کدام از نقاط Rover با استفاده از مشاهدات تک فرکانسی و دو فرکانسی پردازش شده و نتایج در جدول ۲ آمده است.

Triangle	Base Station Slope Distance
T3	11.6 km, 0.007 km, 11.6 km
T4	1.6 km, 0.022 km, 11.6 km
T5	11.6 km, 0.18 km, 11.8 km

پارامترهای استفاده شده در پردازش، در جدول جداول ای ذکر شده است. با توجه به جدول مشخص است که با در نظر گرفتن فاصله موجود بین گیرنده تک فرکانسی و دو فرکانسی و مقایسه طول مبنایها براساس مختصات ژئودتیک، اختلافی کمتر از یک متر در هر سه مولفه طول جغرافیایی، عرض جغرافیایی و ارتفاع به دست می آید.

آنالیز خطای بست مثلثها

مشاهدات همزمان برای تعیین

Stations	Distance Computation		Actual Ground Distance (m)	Residuals w.r.t. Actual Ground Distance	
	Single (m)	Dual (m)		Single (m)	Dual (m)
01 - 02	768.067373	768.264363	768.2	0.132627	-0.064363
01 - 03	3505.145652	3505.341638	3505.2	0.0543480	-0.141638

جدول ۳.۱. مقایسه طول مبنایها با مقادیر واقعی زمینی

فرکانسه) و طولهای زمینی واقعی ارائه می‌دهد. این جدول نشان می‌دهد که تغییرات در حدود $10/15$ متر است.

جدول ۳.۲ نشان می‌دهد که یک ساعت مشاهده برای دستیابی به دقیقیت 1 ppm یا بهتر در طول مبنای با طولی حدود 2 Km کافی است. مطابق جدول ۳.۲، دو ساعت مشاهده برای دستیابی به چنین دقیقی در طول مبنای با طول 10 الی 15 کیلومتر، مورد نیاز است.

Time of observation	Closing error (cm)		
	dx	dy	dz
1hour	- 0.03	- 0.07	0.00
2hours	- 0.01	- 0.02	0.02
3hours	0.00	- 0.02	0.01
4hours	0.01	- 0.01	0.02

جدول ۳.۲

طول مبنای را - بین نقاط مبنای و نقاط Rover - ارائه می‌دهد که با استفاده از گیرنده‌های تک و دو فرکانسه محاسبه شده است. مشاهده می‌شود که خطای باقیمانده

اثر هندسه نقطه مشاهده بر خطای بست

در این مطالعه خطای بست برای سه مثلث که از مشاهدات همزمان شکل گرفته بود، محاسبه شده و نتایج در جدول ۳.۴ نمایش داده شده است. سه مثلث ایجاد شده به نامهای T4، T3 و T5 بوده و فواصل مایل بین ایستگاهها در جدول زیر آمده است.

Time of observation	Closing error (cm)		
	dx	dy	dz
1 hour	- 0.18	- 0.51	- 0.44
2 hours	- 0.03	- 0.24	- 0.16
3 hours	0.05	- 0.06	0.01
3. 83 hours	0.09	0.08	0.24

جدول ۳.۳

جدول ۳.۴ نشان می‌دهد که مثلث T3، ماکریم خطا بست را در هر سه مولفه مختصات داراست که این امر را می‌توان ناشی از هندسه ضعیف مثلث (یکی از اضلاع مثلث در مقایسه با دو ضلع دیگر بسیار کوچک است) دانست. خطاهای بست مناسب تر را می‌توان در مورد مثلثهای T4 و T5 ملاحظه کرد که وجود این خطاهای نیز می‌توان ناشی از زمان کم مشاهدات و تاحدودی مساله هندسه ضعیف مثلثها دانست.

در مولفه‌های عرض جغرافیایی، طول جغرافیایی و ارتفاع به ترتیب $0^{\circ}25$ و 1 متر است. وجود اختلاف (افست) حدود 1 متر بین مشاهدات تک و دو فرکانسه اشاره به این موضوع دارد که بندرت برای طول مبنای 10 الی 15 کیلومتر اختلافی را در دقت مختصات حاصل از دونوع گیرنده (1 متر) خواهیم داشت و تنها موضوع مهم در این حالت، زمان مشاهدات است.

جدول ۳.۱، مقایسه‌ای را بین طول مبنای محاسباتی (با استفاده از مختصات حاصل از گیرنده‌های تک و دو

اطلاعات GPS به منظور بررسی تاثیر مدل‌های یونسferیک گوناگون بر دقت مشاهدات دو فرکانسه، با استفاده از پنج مدل یونسferیک مختلف پردازش شد. آنالیز نتایج نشان می‌دهد که برای مشاهدات کوتاه مدت (بازمان مشاهده بین یک تا یک و نیم ساعت) تغییرات چندانی در نتایج حاصل از مدل‌های یونسferیک گوناگون وجود ندارد. مدل یونسferیک محاسباتی برای مشاهدات طولانی‌تر، دقت بهتری را نتیجه می‌دهد.

جدول ۳.۲، مقایسه‌ای از اختلاف

Triangle	Closing error (cm)		
	dx	dy	dz
T3	- 33.26	- 15.52	- 11.59
T4	4.8	- 10.63	3.09
T5	- 8.98	- 12.56	- 6.69

جدول ۳.۴. اثر هندسه نقاط بر خطای بست

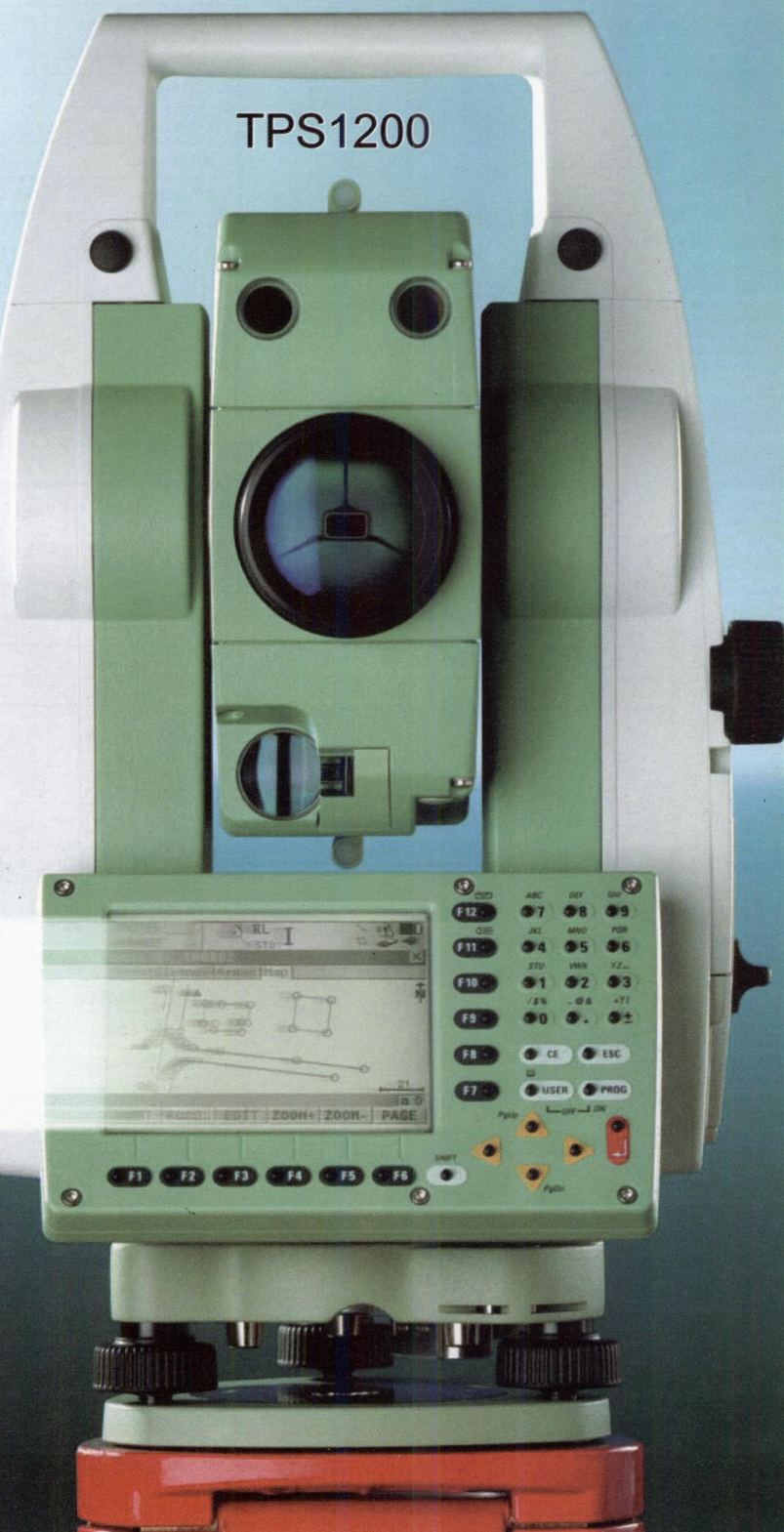
نتایج

آزمایش انجام شده نتایج مهمی در درک عناصر گوناگون مرتبط با اندازه‌گیریهای بخصوص تعیین مختصات دقیق نقاط

سیستم‌های یونیورسال 1200 لایکا

یکبار دیگر ...

- امکان برداشت در سیستم مختصات جهانی و سیستم تصویر دلخواه
- امکان مشاهده اطلاعات بصورت نقشه، همزمان با عملیات برداشت
- امکان ریختن نقشه روی دستگاه واستفاده از آن برای پیاده کردن
- امکان اندازه‌گیری بالیزر تا فاصله ۵۰۰ متر بدون هیچگونه رفلکتور
- بهره‌مندی از تکنولوژی Pinpoint برای اندازه‌گیری بدون رفلکتور
- صفحه کلید آلfanومریک ۳۴ کلیدی با روشنایی پشت کلیدها



WORKING
TOGETHER

GEO Bitex

Geo Based Information TEchnology

شرکت ژئوبایت

نماینده انحصاری شرکت لایکا سوئیس در ایران

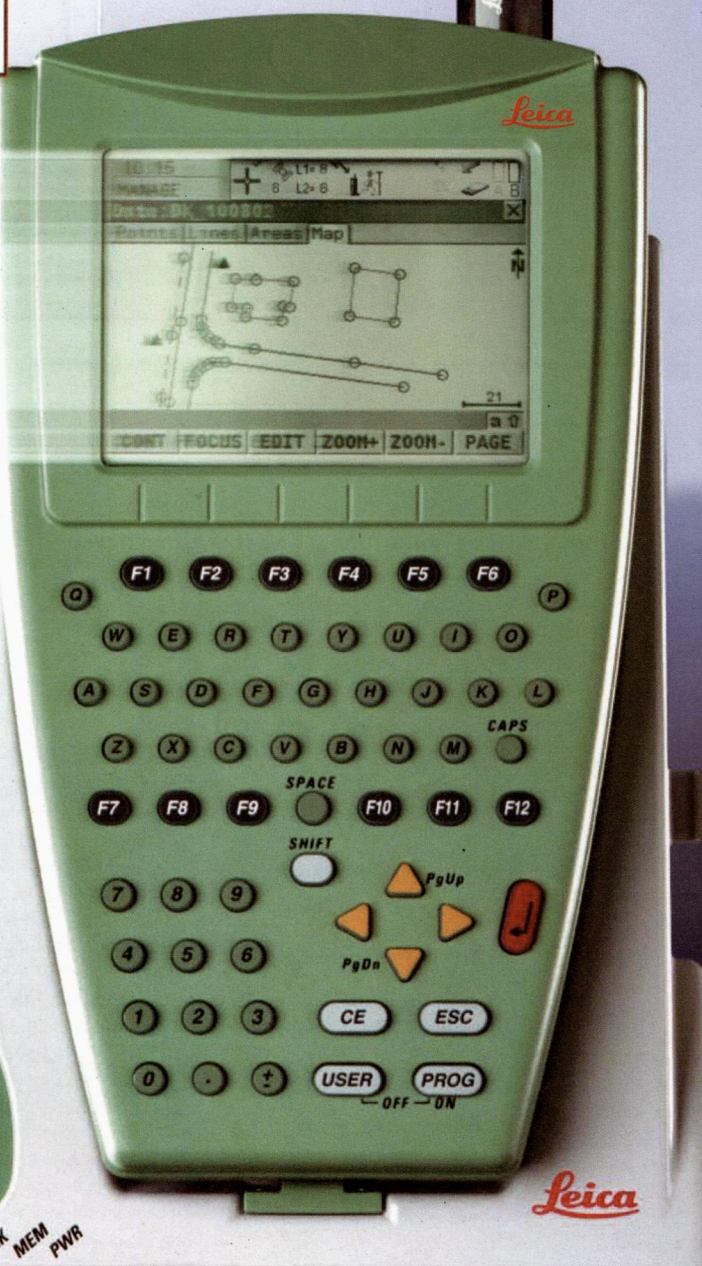
توtal استیشن GPS1200 و TPS1200 جدید لایکا

- ✓ محیط کاری یکسان GPS و TPS
- ✓ نرم افزار پردازش مشترک
- ✓ لوازم جانبی مشترک
- ✓ کارت حافظه مشترک

GPS1200

۰۰ اولین در دنیا

X FUNCTION
integrated



WORKING
TOGETHER

Leica
Geosystems

تعمیرگاه شرکت ژئوبیات تنها مرکز مجاز خدمات بعد از فروش دستگاههای نقشه برداری لایکا در ایران میباشد.

تهران - میدان آزادی - خیابان زاگرس - پلاک ۱ تلفن: ۰۹۱۲-۲۱۰۵۷۸۳ و ۰۸۸۵۰۰۳۰-۳۲ نمبر: ۸۷۹۴۵۲۸

مبناهای با طول ۱۰ الی ۱۵ کیلومتر، حداقل دو ساعت مشاهده GPS مورد نیاز است.

منبع

The Asian GPS Conference, 29-30 October 2001, New Dehli

از اندازه‌گیریهای GPS تفاضلی با طول واقعی زمینی، در حدود 0.15^+ متر تفاوت دارد. همچنین بررسی نتایج نشان می‌دهد که یک ساعت مشاهده برای رسیدن به دقت 1 ppm و یا حتی بهتر در طول مبنای با طول حدود ۲ کیلومتر کافی است، در حالی که برای رسیدن به همان دقت در طول

کنترل زمینی داشته است. ارزیابی مقایسه‌ای بکار گیری گیرنده‌های تک فرکانسی در مقابل گیرنده‌های دوفرکانسی در این پروژه انجام شده است. همچنین، تاثیر مدل‌های یونسferیک مختلف بر دقت اندازه‌گیریها نیز مورد مطالعه قرار گرفته است. طول مبنای محاسبه شده با استفاده

۹ بقیه از صفحه

Birkhauser Verlag, Basel, Berlin.

7- Haala, N. & Brenner, C. (1999). 'Extraction of buildings and trees in urban environments', ISPRS Journal of Photogrammetry and Remote Sensing 54(2-3), 130-137.

8- Mohan, R. & Nevatia, R. (1989). Segmentation and description based on perceptual organization, in 'Proc. IEEE Computer Society Conference on Computer Vision and Pattern Recognition', San Diego, CA, pp. 333-341.

9- Gonzalez, R., Woods, R. (1993). Digital image processing, Addison-Wesley Publishing, Reading, Massachusetts.

10- Haralick, R. M., Shapiro, L. G. (1993). Computer and Robot Vision.

11- Parker, J. L. (1997). Algorithms for image processing and computer vision. John Wiley & Sons, Inc.

12- Hall, D. L., Linn R. J., (1987). Algorithm selection for data fusion systems. Proceedings of Tri-service Data Fusion Symposium. John Hopkins University, Baltimore. Pp. 100-110.

13- Atkinson, K. B. (1996). Close Range Photogrammetry and Machine Vision. Wittle Publishing.

14- Zadeh, L. A., (1973). Outline of a new approach to the analysis of complex systems and decision process. IEEE Trans. On systems, Man and Cybernetics., Vol. 3, No. 1, 28-44.

15- Zimmermann, H. -J., (1993). Fuzzy Set Theory, and Its Applications., Kluwer Academic Publishers.

16- Besl, P. J. & Jain, R. C. (1988). Segmentation through variable order surface fitting, IEEE Transaction of Pattern Analysis and Machine Intelligence, 10(2), 167-192.

17- Bernd, J., HouBecker, H., GeiBler, P., (1999). Handbook of Computer Vision and Applications, Academic Press.

18- Hilditch ,J. and Rutovitz., D., (1969). Chromosome Recognition, Annals of the New York Academy of Science, 157: 339-364.

● توانایی یادگیری اطلاعات جدید با ادغام ساختار یادگیری شبکه‌های عصبی در منطق فازی

مراجع

1- Baltsavias, E., Mason, S. & Stallmann, D. (1995). Use of DTMs/DSMs and orthoimages to support building extraction, in A.Gruen, O.Kuebler & P.Agouris, eds, 'Automatic Extraction of Man-Made Objects from Aerial and Space Images', Birkhauser Verlag, Basel, Boston, Berlin,pp.199-210.

2- Brunn, A. & Weidner, U. (1997). Extracting buildings from digital surface models, in 'ISPRS Workshop on 3D Reconstruction and Modelling of Topographic Objects', Stuttgart, Germany, pp. 27-34.

3- Collins, R., Hanson, A., Riseman, E. & Schultz, H. (1995). Automatic extraction of buildings and terrain from aerial images, in A. Gruen, O. Kuebler & P. Agouris, eds, 'Automatic Extraction of Man-Made Objects from Aerial and Space Images', Birkhauser Verlag, Basel, Boston, Berlin, pp. 169-178.

4- Ebner, E., Eckstein , W., Heipke, C. & Mayer, H., Eds (1999). Automatic Extraction of GIS Objects From Digital Imagery, Vol. 32, B3-2W5, ISPRS, Munich, Germany.

5- Fua, P. & Haanson, A (1988). Extracting generic shapes using model-driven optimization, in 'DAPRA Image Understanding Workshop', Morgan Kaufmann Publisheres, Cambridge, Massachusetts, PP. 994-1004.

6- Gruen, A., Baltsavias, E. & Henricson, O.,Eds (1997). Automatic Extraction of Man-Made Objects from Aerial and Space Images, Vol. II,

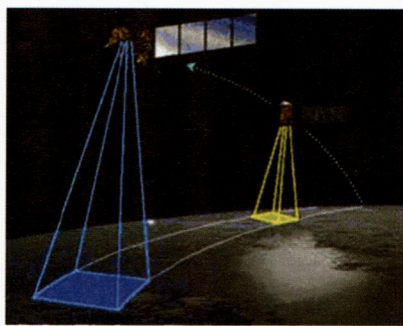
سن جنده ALI (Advanced Land Imager)

نویسنده: مهندس مهدی آفوندزاده
پژوهشگر مرکز تحقیقات نقشه برداری سازمان نقشه برداری کشور
RC@ncc.neda.net.ir

آن برای همه باندها ۳۰ متر است.
ابعاد تصویر $77\text{km} \times 42\text{km}$ است.

- Linear Etalon Imaging
Spectrometer Array (LEISA)
Atmospheric Corrector (LAC)

این سیستم برای افزایش دقت تخمین



شکل ۲. سن جنده ALI در حال تصویربرداری

انعکاس (Reflectance) سطح طراحی شده است. می‌توان از جمله کاربردهای سن جنده ALI را در زمین شناسی (تهیه نقشه و بررسی طبقات زمین شناسی)، کشاورزی، تشخیص تغییرات (Change Detection) و نمایش پدیده‌ها و خسارتهای طبیعی نام برد. محصولات این سن جنده در Level-1R با تصحیح رادیومتریکی قابل عرضه است.

منابع

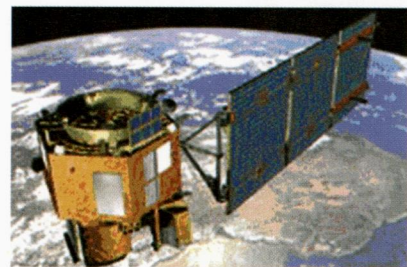
- 1-<http://edc.usgs.gov/products/satellite/eo1.html>
- 2-<http://www.qadas.com/qadas/nasa/nasa-hm/0445.html>
- 3- <http://www.globaltechnoscan.com/18thApr-24thApr01/earth.html>

سری ماهواره‌های Landsat نام می‌برند. این ماهواره با فناوری جدیدی نسبت به Landsat به فضا پرتاب شده و دارای قابلیت‌های بیشتری نسبت به آن است. به عنوان مثال، تصاویر سن جنده ALI دارای وضوح (sharp) بیشتری نسبت به تصاویر سن جنده ETM+ هستند. EOS-1، اولین ماموریت NASA در هزاره سوم است و مقدمه خوبی برای توسعه و آزمایش یک سری دستگاه‌های تصویربرداری پیشرفتنه است. سن جنده‌ها و سیستمهای دیگری که غیر از ALI بر روی EOS-1 قرار دارند عبارتند از:

الف: Hyperian

یک سن جنده Hyperspectral قادر به جمع آوری تصویر در ۲۲۰ باند طیفی در برد ۱۰/۳۵۷ تا ۲/۵۷۶ میکرومتر با پهنای باند ۱۰ نانومتر است. سیستم تصویربرداری این سن جنده pushbroom و توان تفکیک مکانی

ALI، یک سن جنده مشاهداتی زمین است که برای تصویربرداری از زمین در ۱۰ باند طیفی به کار می‌رود. این سن جنده سبک وزن که بر روی ماهواره EO-1 (Earth observing-1) قرارداد در ۲۱ نوامبر سال ۲۰۰۰ میلادی توسط ناسا به فضا پرتاب شد.



شکل ۱. سن جنده ALI

برخی از ویژگیهای این سن جنده در جدول ۱ آمده است. از ماهواره EOS-1 به عنوان نسل بعدی

مدار	خورشید آهنگ
زمان محلی عبور از استوا	۱۰:۰۱am
ارتفاع	۷۰۵ km
زاویه میل	۹۸/۲ درجه
Repeat cycle	۱۶ روز
سیستم تصویربرداری	Pushbroom
سال پرتاب	۲۰۰۰ میلادی
توان تفکیک	۱۰m در پانکروماتیک ۳۰ m در چند طیفی
ابعاد تصویر	۳۷ km * ۱۸۵ km / ۳۷ km * ۴۲ km
باندها	توان تفکیک رادیومتری ۱۲ بیت ۰/۴۸ - ۰/۰۶۹ پانکروماتیک
باندها	۹ باند چند طیفی (multi spectral)

جدول ۱. مشخصات سن جنده ALI

گزارشی از برگزاری کارگاه تخصصی روشهای تحقیق در علوم و مهندسی رئوماتیک

نویسنده: مهندس مهدی آخوندزاده

پژوهشگر مرکز تحقیقات نقشه برداری سازمان نقشه برداری کشور

RC@ncc.neda.net.ir

- اطلاعات درمذکور رقومی موجود (تصاویر و سایر لایه‌ها) به صورت فیلتر شده از واقعیتهای زمینی وجود دارند. پس نمایانگر بخشی گزینشی از واقعیتهای زمینی هستند نه تمام واقعیتها.
- اختلاف مقیاس بین اطلاعات موجود برای مثال بین مشاهدات ماهواره‌ای، اندازه گیریهای زمینی و نقشه‌ها
- اختلاف دقت، زمان تهیه و ... بین اطلاعات موجود
- تعریف کلاسیک مقیاس فاقد اعتبار لازم است و استفاده از سایر تعاریف مانند توان تفکیک ضروری است.
- وابستگی شدید بین نمونه‌های نزدیک (مکانی و زمانی) (تضاد با فرضیات آمار کلاسیک)
- لزوم استفاده از آمار زمین برای بررسی وابستگی مکانی یا زمانی
- انتخاب نمونه‌های تقریباً مستقل
- محدودیتهای موجود در گردآوری اطلاعات زمینی
 - مشکلات دسترسی (مکانی و زمانی)
 - هزینه‌ها و ...
- عدم اطمینان (Uncertainty) نقشی بسیار مهم و موثر در نتایج ایفا می‌کند.
 - اندازه گیری

- مهمترین دلایل ضعف پژوهش در کشور عبارتست از:
 - جزء نگری ضعیف به علت غالب بودن کلی نگری در حالی که پژوهش یعنی جزء نگری.
 - پژوهش مستلزم صرف هزینه و زمان است ولی اغلب کم حوصله و عجله هستیم.
 - تحقیق کار جمعی است در حالی که اغلب کارها به صورت انفرادی انجام می‌شود و واگرایی وجود دارد.
 - ضعف استفاده و کاربرد نتایج تحقیق در جامعه
 - عدم تعریف دقیق از مسائل و نیازهای تحقیقاتی
 - عدم اهمیت کیفیت در استفاده از اطلاعات (غلبه کمیت بر کیفیت)

در ادامه سلسله سخنرانیها و کارگاه‌های تخصصی برگزار شده توسط مرکز تحقیقات نقشه برداری سازمان نقشه برداری کشور در روز سه شنبه ۲۰ مردادماه ۱۳۸۳، کارگاه تخصصی با عنوان روشهای تحقیق در علوم و مهندسی رئوماتیک توسط دکتر عباس علی محمدی از گروه GIS دانشکده مهندسی نقشه برداری دانشگاه صنعتی خواجه نصیرالدین طوسی، باحضور دانشجویان، کارشناسان و محققان داخل و خارج سازمان در سالن همایش ابراهیمی سازمان نقشه برداری کشور برگزار شد.

مهمنترین سرفصلهایی که در این کارگاه به آن پرداخته شد عبارت بود از:

۱. دلایل مهم ضعف پژوهش در کشور
۲. ویژگیهای پژوهش در مسائل رئوماتیک
۳. عوامل مهم و تعیین کننده در طراحی و تعیین موضوعات پژوهشی در رئوماتیک
۴. نمونه‌ای از مسائل و زمینه‌های مهم تحقیقاتی در رئوماتیک

۲. ویژگیهای پژوهش در رئوماتیک

در اینجا با توجه به شاخه‌های مختلف علوم و مهندسی رئوماتیک به برخی ویژگیهای پژوهش در آن اشاره می‌کنیم:

- در محیط GIS، داده‌های غنی داریم ولی دانش و تصوری سازی ضعیف است.

۱. دلایل ضعف پژوهش در کشور

از نظر دکتر علی محمدی برخی از

- مدیریت حوادث (طبقه بندی، خوشبندی، خلاصه سازی و مدیریت داده ها)
- استخراج اطلاعات از تصاویر ماهواره ای GIS و داده های GIS
- بررسی چگونگی توزیع مکانی و زمانی فرآیندها
- بررسی وابستگی بین متغیرها
- آنالیز و تشخیص داده های غیرنرمال (out tiers)
- تشخیص روندها (مکانی - زمانی)
- مدلسازی و پیش بینی فرآیندها در ادامه کارگاه، مباحثی در ارتباط با موضوع کارگاه بین دکتر علی محمدی و حضار (از جمله دکتر صادقیان «رئیس مرکز تحقیقات نقشه برداری»، دکتر شتابی «عضو هیئت علمی دانشگاه علوم کشاورزی و منابع طبیعی گرگان» و...) مطرح شد و راهکارهایی عملی برای ارتقای پژوهش در مهندسی ژئوماتیک مورد بحث قرار گرفت.

۳. عوامل مهم و تعیین کننده در طراحی و تعیین موضوعات

پژوهشی در ژئوماتیک

- منابع و مجموعه داده های موثر (مثال سنجدنه ها)
- الگوریتمها
- شرایط محیط مورد بررسی
- نوع مساله و کاربرد
- محدودیتها (اقتصادی، فنی، زمان، اجتماعی، دسترسی و ...)

مثال: برای مطالعه پوشش گیاهی با وجود محدودیتهای موجود در محیط بیابان چه سنجدنه ای با چه روشنی ارجحیت دارد؟

۴. مسائل و زمینه های مهم تحقیقاتی در ژئوماتیک

- بهینه سازی مقیاس برای انواع داده ها و کاربردها
- تخصیص منابع (به عنوان مثال در

- شبیه سازی
- تحلیل حساسیت مدلها
- با دو طبقه کاربر و تولیدکننده سروکار داریم که غالباً دیدگاهها و منافع متفاوتی دارند و دیدگاههای کاربر (User) کمتر مورد توجه بوده است.

- اثرات متقابل بین منابع خطاب ارزیابی دقت (مثال دقت موضوعی) تحت تاثیر سایر منابع خطاب (مثال دقت هندسی) قرار می گیرد.

مثال:

- ارزیابی دقت نقشه طبقه بندی شده در مقایسه با واقعیت زمینی
- ارزیابی نقشه پیش بینی رخداد یک فرآیند به کمک مدلسازی در GIS

- غالباً بهینه سازی برقراری ارتباط بین واقعیتهای زمینی (مدلهای مفهومی زمین) و مدلها رقیمی هدف پژوهش است.

- حجم زیاد داده ها و وابستگی آنها: انتخاب داده های مفید مهم است.

www.ncc.org.ir
www.ncc.org.ir

مرواری بر سوالات آزمون کارشناسی ارشد رشته مهندسی نقشه‌برداری، شماره ۴

تهدیه کننده: دکتر سعید صادقیان
Sadeghian@ncc.neda.net.ir

در ادامه مطالب چاپ شده در شماره‌های قبل، در این شماره به سوالات سنجش از دور سال ۱۳۸۲امی پردازیم:

- ۱- جمع کل تابش در کلیه طول موجها که به وسیله یک جسم سیاه کامل با درجه حرارت $K = 300^\circ C$ گسیل می‌شود، در صورتی که ثابت استفان بولتزمن برابر با $(W/cm^2 K^4) = 5.669 \times 10^{-12}$ باشد، کدام است؟ (بر حسب (W/cm^2))

$$1377/567 \times 10^{-8} - 1 = 57021 \times 10^{-4} - 2 = 459/189 \times 10^{-3} - 3 = 153/063 \times 10^{-2} - 4$$

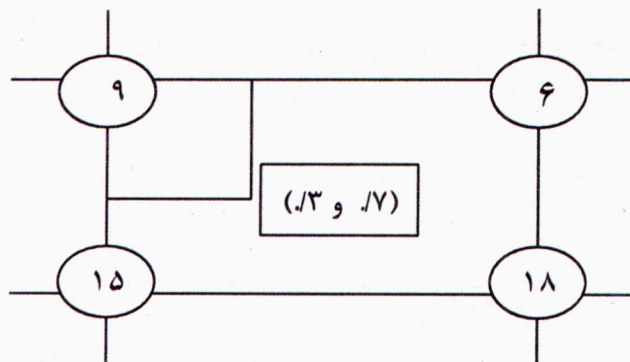
گزینه صحیح: سه

جمع کل تابش در کلیه طول موجها به وسیله یک جسم سیاه کامل:

$$M = \sigma T^4 = 5.669 \times 10^{-12} \times (300)^4 = 459/189 \times 10^{-2}$$

- ۲- مقدار پیکسلی که در موقعیت $(\frac{1}{7}, \frac{1}{3})$ قرار گرفته، با استفاده از روش انترپولاسیون bilinear و با توجه به چهار پیکسل همسایگی کدام است؟

$$15/05 - 4 \quad 14/12 - 3 \quad 13/56 - 2 \quad 12/82 - 1$$



گزینه صحیح: دو

$$\frac{\sum_{k=1}^4 \frac{z_k}{D_K^2}}{\sum_{k=1}^4 \frac{1}{D_K^2}} = 13/56$$

$= Z_K$ = مقادیر چهار پیکسل احاطه کننده
 $= D_K^2$ = مربع فواصل هر یک از این چهار پیکسل از پیکسل $(\frac{1}{7}, \frac{1}{3})$

- ۳- در یک تصویر TM برای رفع خطای Striping با استفاده از روش bulk موارد زیر مفروض است:
میانگین مقادیر پیکسلهای خط اسکن دارای خطاب 180° ، میانگین مقادیر پیکسلهای خط اسکن بدون خطاب 150° و نسبت انحرافهای معیار خط بدون خطاب به خط دارای خطاب برابر $\frac{2}{3}$ است. پیکسلی که در یک خط دارای خطاب دارای مقدار

3

باشد، پس از رفع خطای دارای چه مقداری خواهد بود؟

۱۳۲-۴ ۱۱۰-۳ ۱۰۵-۲ ۹۰-۱

گزینه صحیح: سه

$$y = \frac{\delta_d}{\delta_i} x + m_d - \frac{\delta_d}{\delta_i} m_i = \frac{2}{3} * 120 + 150 - \frac{2}{3} * 180 = 110$$

d: خط اسکن مرجع δ: انحراف معیار

x: مقدار پیکسل دارای خط y: مقدار پیکسل اصلاح شده

δ_i : انحراف معیار خط اسکن دارای خط

۴- در تصاویر ماهواره‌ای با فریم $200*200$ کیلومتر مربع در منطقه‌ای با عرض جغرافیایی 60° و با زاویه انحراف ماهواره به اندازه α و با سرعت زاویه‌ای زمین برابر با ω_e و با سرعت زاویه‌ای ماهواره برابر با ω_0 ، خطای ناشی از دوران کره زمین با استفاده از کدام رابطه زیر محاسبه می‌شود؟

$$\Delta x = 100 \left(\frac{\omega_0}{\omega_e} \right) \cos \alpha \quad -2$$

$$\Delta x = 100 \left(\frac{\omega_e}{\omega_0} \right) \cos \alpha \quad -1$$

$$\Delta x = 100 \sqrt{3} \left(\frac{\omega_0}{\omega_e} \right) \cos \alpha \quad -4$$

$$\Delta x = 100 \sqrt{3} \left(\frac{\omega_e}{\omega_0} \right) \cos \alpha \quad -3$$

گزینه صحیح: یک

خطای ناشی از دوران زمین حول محور خود را می‌توان به صورت زیر فرموله نمود:

$$\Delta x = F \left(\frac{\omega_e}{\omega_0} \right) \cos \varphi \cos \alpha = 100 \left(\frac{\omega_e}{\omega_0} \right) \cos \alpha \quad -F=200 \quad \varphi=60^\circ$$

(ω_e): سرعت زاویه‌ای زمین (ω_0): سرعت زاویه‌ای ماهواره F: طول منطقه مورد تصویربرداری α : زاویه شب مداری (زاویه میل)

۵- در یک سنجنده نوری - مکانیکی، اختلاف مکانی دو سر یک Scan - line در اثر جلو رفتن ماهواره در صورتی که زمان اسکن کردن یک Scan - line برابر با 28 ms و سرعت معادل ماهواره در زمین برابر $5/863 \text{ kms}^{-1}$ باشد، چندمتراست؟

۱۶۴/۱۶۴-۴ ۴۷/۷۵۷-۳ ۱۶۴/۶۴-۲ ۴۷۷۵-۱

گزینه صحیح: چهار

$$v = d / t, d = v \cdot t = 5/863 * 10^3 * 28 * 10^{-6} = 164.164$$

۶- توان تفکیک آزمایشی در یک تصویر راداری SLAR که در آن طول موج $\lambda = 1/2\text{cm}$ ، طول آنتن $L = 6\text{m}$ ، ارتفاع پرواز $H = 5500\text{m}$ و زاویه فرود $\theta = 45^\circ$ است، چند متر است؟

۵/۲ - ۴ ۱۰/۴ - ۳ ۱۵/۵ - ۲ ۲۴ - ۱

گزینه صحیح: دو

$$R_a = \frac{\lambda}{l} * \frac{h}{\cos \theta} = \frac{1.2 * 10^{-2}}{6} * \frac{5500}{\cos 45} = 15.5$$

۷- اندازه پیکسل زمینی در نادیر در یک سنجنده Linear Array با فاصله کانونی ۱/۱ متر و ارتفاع پرواز ۷۳۰ کیلومتر و CCD به اندازه ۱۰ میکرون، چند متر است؟

۰/۸۰۳ - ۴ ۸/۰۳ - ۳ ۰/۶۶۴ - ۲ ۹/۶۴ - ۱

$$S = \frac{f}{h} = \frac{1.1}{730000}$$

$663636/3636 = 10^{-5}$ = اندازه CCD × عدد مقیاس = اندازه پیکسل زمینی در نادیر

۸- در یک تصویر اخذ شده توسط دوربین پانورامیک (Panoramic)، رابطه بین مقیاس در x,y (Scanning angle = 360°) برای نقطه‌ای که تحت زاویه 30° برداشت شده است

$$\sqrt{3} S_x = 2S_y \quad \sqrt{3} S_y = 2S_x \quad S_y = 0.5 S_x \quad S_y = 2S_x - 1$$

گزینه صحیح: چهار

$$S_y = S_x \cdot \cos \alpha = S_x \cdot \cos 30 = \frac{\sqrt{3}}{2} S_x$$

۹- نسبت باز به ارتفاع ($\frac{B}{H}$) برای تصاویر اخذ شده به روشن Cross-Track تحت زوایای 25° و 180° چقدر می‌باشد؟

۲ - ۴ ۱/۹ - ۳ ۰/۷۹ - ۲ ۰/۶ - ۱

$$\operatorname{tg} \alpha_1 + \operatorname{tg} \alpha_2 = B / H, \operatorname{tg} 18 + \operatorname{tg} 25 = 0.32 + 0.47 = 0.79$$

۱۰- زاویه میل مدار یک ماهواره تصویر برداری در حالت Retrograde Inclination برابر 100° می‌باشد. این ماهواره تا چه عرض جغرافیایی از سطح زمین را می‌تواند تصویر برداری نماید؟

۱- کل زمین

۲- محدوده بین عرضهای جغرافیایی $-70^\circ < \varphi < +70^\circ$ تا $+70^\circ$

۳- محدوده بین عرضهای جغرافیایی $-80^\circ < \varphi < +80^\circ$ تا $+80^\circ$

۴- محدوده بین عرضهای جغرافیایی $-75^\circ < \varphi < +75^\circ$ تا $+75^\circ$

گزینه صحیح: سه

اگر $i < 90^\circ$ (Prograde inclination) باشد، مناطق تحت پوشش ماهواره در عرضهای جغرافیایی $i < \varphi < i$ است.

اگر $i > 90^\circ$ (Retrograde inclination) باشد، مناطق تحت پوشش ماهواره در عرضهای جغرافیایی $(180 - i)^\circ < \varphi < (180 - i)^\circ$ است.

$$180 - i = 180 - 100 = 80$$

ISI و ژئوماتیک؛ ISI یک شاخص استاندارد در سنجش تولید علم در جهان

نویسنده: مهندس مهدی آفوندزاده

پژوهشگر مرکز تحقیقات نقشه برداری سازمان نقشه برداری کشور

m.akhoondzadeh@ncc.neda.net.ir

شرکتی برای ایجاد پایگاه اطلاعات علمی، تهیه فهرست جامعی از مهمترین و تاثیرگذارترین پژوهشها در سطح جهان است. امروزه پایگاه داده آی.اس.آی شامل بیش از شانزده هزار مجله، کتاب و گزارش همایش در حوزه‌های مختلف است. بخش مهمی از این داده‌ها شامل ۸۶۰۰ مجله از کشورهای جهان است که اطلاعاتشان به صورت سالانه فهرست می‌شود.

آی.اس.آی- چنان که گفته شد- متعهد است که با پوشش جامعی از مهمترین و تاثیرگذارترین مجلات دنیا، اطلاعات لازم برای آگاهی از پیشرفتهای اخیر و مرور تحولات گذشته را در دسترس مشترکانش بگذارد. اما این جامع بودن، لزوماً به معنای فهرست شدن همه مجلات نیست. فهرست کردن همه مجلات نه تنها از لحاظ اقتصادی غیر عملی است بلکه تحلیل نوشتارهای علمی نشان داده است که ضرورتی هم ندارد. طبق آنچه اغلب «اصل برادر» نامیده می‌شود؛ معلوم شده است که می‌توان تمام نتایج علمی اصلی و مهم را در مجموعه نسبتاً کوچکی از مجلات پیدا کرد.

تحلیلهای اخیر بر مبنای استنادهای علمی نشان داده است که تنها مجموعه‌ای از

استخراج شده از نشریات علمی را از طریق اطلاع‌رسانی متمرکز در اختیار جامعه علمی بگذارد. در ابتدا این موسسه اطلاعات ۲۰۰ مجله علمی را پوشش می‌داد و در سال ۱۹۸۷ مجموعه مجله‌های فهرست شده در آی.اس.آی شامل ۵۲۰۰ مجله به ۳۲ زبان مختلف بوده است. این تعداد اکنون به بیش از ۸۰۰۰ مجله علمی در رشته‌های گوناگون رسیده است.

آی.اس.آی هر ساله محصولات متنوع جدیدی فراهم و به پژوهشگران عرضه می‌کند. حجم عظیم اطلاعات آی.اس.آی به محققان این امکان را می‌دهد که از پیشینه تحقیقاتی موضوع مورد علاقه شان وهمچنین از آخرین تحولات پیشرفتها در زمینه‌های آن مطلع شوند. به این ترتیب آی.اس.آی فراگیرترین پوشش برای نشریات پژوهشی جهان به زبانهای مختلف است و به همین مناسبت، معمولاً در بررسی وضعیت علمی کشورها به آمارها وداده‌های آن استناد می‌شود. به عنوان مثال، در رتبه‌بندی ۵۰۰ دانشگاه برتر جهان که توسط دانشگاه شانگهای چین در سال ۲۰۰۳ منتشر شد؛ یکی از معیارهای رتبه‌بندی، تعداد مقالات نمایه شده در آی.اس.آی بود. مأموریت اصلی آی.اس.آی به عنوان

چکیده

با توجه به روند رو به رشد مهندسی ژئوماتیک و ارتقای دانش آن در کشور، لازم است تا عرصه‌ای فراهم شود تا متخصصان ژئوماتیک برای نشان دادن وضعیت دانش ژئوماتیک در کشور و همچنین آگاهی دیگران از آن فعالیتها، دستاوردهای علمی و پژوهشی خود را در مجلات معتبر علمی و پژوهشی دنیا ارائه دهند. آی.اس.آی متعهد است که با پوشش جامع خود از مهمترین و تاثیرگذارترین مجلات دنیا، اطلاعات لازم برای آگاهی از پیشرفتهای اخیر و مرور تحولات گذشته در زمینه علوم مختلف از جمله ژئوماتیک را در دسترس مشترکانش بگذارد. در اینجا، به معرفی ISI و معرفی مجلات مورد تایید آن در زمینه مهندسی نقشه‌برداری و ژئوماتیک می‌پردازیم.

مقدمه

یوجین گارفیلد، موسسه اطلاعات علمی یا آی.اس.آی (Institute for Scientific Information) در ایالت فیلadelphy امریکا تأسیس ۱۹۵۸ کرد. قصد گارفیلد این بود که اطلاعات

با کل مجلات آن رده موضوعی در سطح جهان، آن را فقط بادیگر مجلات همان رده در همان منطقه مقایسه می‌کند.

تحلیل استنادها

فرآیند ارزیابی در آی.اس.آی به خاطر اطلاعات استنادی عظیمی که ویراستارانش در اختیار دارند، منحصر به فرد است. از آنجا که تعداد مجلات رشته‌های مختلف بسیار متفاوت است؛ میزان استنادهای اختصاصی رشته‌ها هم خیلی با هم فرق می‌کند.

داده‌های استنادی در شاخصهای گوناگونی مورد استفاده قرار می‌گیرند. برای مجلات جا افتاده این داده‌ها شامل میزان استناد، ضریب تاثیر و شاخص بی واسطگی استناد است. در مورد مجلات جدید ویراستاران آی.اس.آی، سابقه انتشار این مجله و اعضای هیئت ویراستاران آنرا بررسی می‌کنند تا بینند که کجاها مقاله چاپ کرده‌اند و آیا قبل از مقالات‌شان استناد شده است یا نه؟ همچنین از آنجا که آی.اس.آی تک‌تک مراجع و مستندات تمام مقالات شامل پوشش خود قرار می‌دهد. اما ویراستار موسسه به جای مقایسه یک مجله منطقه‌ای

یک مجله جدید منابع داده آی.اس.آی را غنی‌تر می‌کند یا اینکه مباحث آن قبل از قدر کافی در پوشش آی.اس.آی قرار گرفته است و نیازی به مجله جدید نیست. ویراستاران آی.اس.آی بالاستفاده از مقادیر عظیم اطلاعاتی که در دسترس دارند و با مشاهده روزانه هر مجله علمی جدیدی که منتشر می‌شود، در جایگاهی قرار دارند که براحتی می‌توانند عرصه‌های جدید را بشناسند.

۱۵۰ مجله جهان، تقریباً نصف استنادها و ۷۴۰ کل مقالات را شامل می‌شود. همچنین معلوم شده است که هسته‌ای از حدود ۲۰۰۰ مجله تقریباً ۸۵ درصد کل مقالات منتشر شده و ۹۵ درصد مقالات استنادی را در بر می‌گیرد. اما ترکیب این هسته ثابت نیست و مدام تغییر می‌کند. گروه ویراستاران آی.اس.آی مامور ند مجلات جدیدی را که برای مشترکان این موسسه مفید می‌نماید، شناسایی و ارزیابی کنند و مجلات نه چندان مفید را کنار بگذارند.

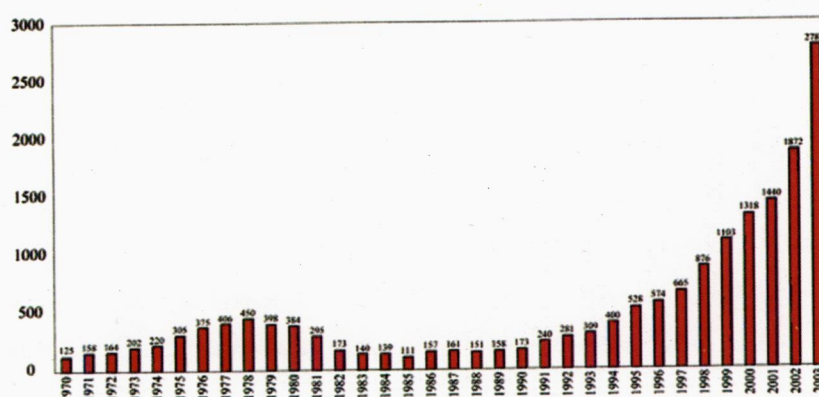
گوناگونی بین‌المللی

عامل دیگری که به آن توجه می‌شود؛ فرآیندی جغرافیایی مجله است. آی.اس.آی برای برآورده کردن نیازهای مشترکانش در همه نقاط جهان بیشتر مایل به پوشش مجلاتی است که ملیت مولفان مقالاتش - چه مقالات اصلی و چه مقالات استنادی - متنوع‌تر باشد. آی.اس.آی برای انعکاس مناسب زمینه جهانی ای که تحقیقات علمی در آن انجام می‌شود و برای پوشش متعادل در هر رده، بهترین مجلات منطقه‌ای را هم شامل پوشش خود قرار می‌دهد. اما ویراستار موسسه به جای مقایسه یک مجله منطقه‌ای

ارزیابی و انتخاب مجله در آی.اس.آی فرآیندی مستمر است که در آن هردو هفته یک بار، مجلات جدیدی به پایگاه داده این موسسه اضافه یا از آن حذف می‌شوند. هیئت ویراستاران آی.اس.آی هرسال به ارزیابی دوهزار مجله جدید می‌پردازد اما معمولاً فقط ۱۰ تا ۱۲ درصد از آنها انتخاب می‌کند. علاوه بر این، مجلات موجود در فهرستهای آی.اس.آی مدام تحت نظارتند تا اطمینان حاصل شود که استناداردهای لازم را حفظ کرده‌اند و هنوز ارتباط روشنی با فهرستگان مربوط به خود دارند.

محتوای مجله

هسته اصلی نوشتارهای علمی فقط در تعداد نسبتاً کمی از مجلات متمرکز است. اما تحقیقات علمی همچنان منجر به ایجاد حوزه‌های تخصصی و مطالعاتی تازه و انتشار مجلات جدید می‌شود. ویراستاران آی.اس.آی تعیین می‌کنند که آیا محتوای



شکل ۱. تعداد مقالات ایرانی چاپ شده در مجلات بین‌المللی از سال ۱۹۷۰ تا ۲۰۰۳

جهان در تولید علم، احتیاج به سیاستگذاری و برنامه‌ریزی گسترده و منسجم و حمایت اقتصادی بیشتر از فعالیتهای تحقیقاتی داریم. تعداد اختراعات ثبت شده ایرانیان در سطح بین‌المللی که شاخصی است برای تجاری کردن علم تولید شده در ایران بسیار اندک است. در این زمینه هنوز سیاست مشخصی اعلام نشده است. در دنیای سریع کنونی که کمایش همه چیز تولید انبوه می‌شود، نمی‌توان شاخصهای استاندارد سنجش را ندیده گرفت. ISI، استانداردی است برای تولید علم نوین مشابه استانداردهای تولیدات صنعتی که نمی‌توان آن را با تولید علم ابوریحانی و این سینانی یکی شمرد. البته این تمایز به معنی بی‌توجهی به کیفیت علم در دو دوره متمايز نیست بلکه تاکید بر تفاوت چگونگی سنجش کیفیت در دوره‌های مختلف است.

نتیجه‌گیری و پیشنهادات

عملده ترین شاخص تولید علم در سطح جهان، تعداد مقاله‌های علمی نمایه شده در ISI و نیز استنادهای مرتبط با آنهاست که این هم در ارتقای مرتبه علمی افراد و هم ارتقای جایگاه علمی کشور در بعد بین‌المللی نقش بسزایی دارد. بنابراین پیشنهاد می‌شود مقالاتی که ارزش علمی و پژوهشی دارند در مجلات معتبر مورد تایید ISI، به چاپ برسند. در زمینه مهندسی ژئوماتیک نیز پیشنهاد می‌شود، فعالیتی برای گردآوری وارائه آمار در زمینه تعداد و میزان رشد مقالات ژئوماتیک چاپ شده در ISI، به تفکیک مراکز دانشگاهی و پژوهشی در ایران صورت گیرد. در انتها، نشریات علمی و پژوهشی در

ایران است. رشد علمی سالهای اخیر کاملاً منظم و ساختاری است. منشاً آن را باید بیشتر در ایجاد دوره‌های تحصیلات تکمیلی در سال ۱۳۶۷ و نیز رشد اعتبارات پژوهشی دانست. در سال ۲۰۰۳ بنهایی ۴۰۰۰ نفر

محقق ایرانی و ۱۰۰۰ نفر پژوهشگر خارجی در این تولید مشارکت داشته‌اند. الگوی مشارکت همچنان تحت تاثیر کشورهای گروه هفت است. آمریکا که قبل از انقلاب جایگاه نخست را در زمینه مقالات مشترک به خود اختصاص می‌داد؛ مدت‌ها از این مقام به دلیل اشغال آن توسط کانادا غایب بود ولی اکنون مجدداً مقام اول را احرار کرده است. در میان کشورهای اصلی جایگاه استرالیا به عنوان همتراز با کشورهای اصلی گروه هفت جای شگفتی ندارد زیرا بسیاری از بورسیه‌ها و اعضای هیئت علمی استفاده کننده از فرصت مطالعاتی به این کشور رفته‌اند. گرچه سهم بخش خصوصی در تولید علم ایران ناچیز است ولی

به هر حال حضورش دیده می‌شود.

برای حفظ آهنگ رشد سالهای گذشته و نیز رسیدن به مقامی در میان سی کشور اول

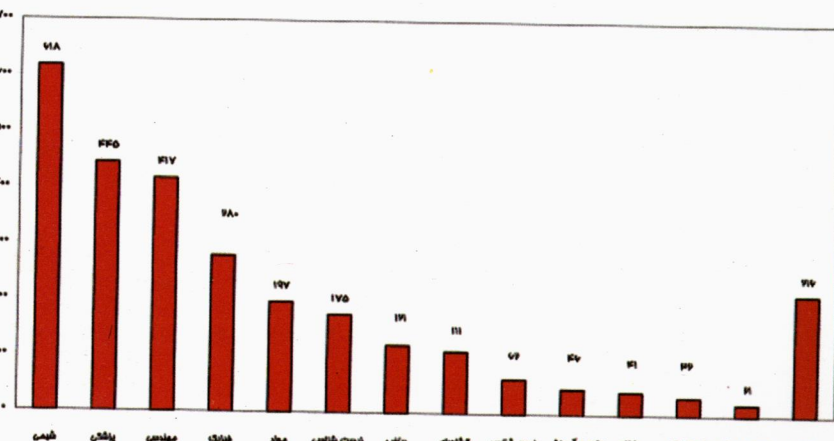
مجلات تحت پوشش، مجلاتی را که هم تحت پوشش نیستند؛ یعنی مجلاتی را شامل می‌شوند که در هر یک از ۸۶۰۰ مجله تحت پوشش به آنها استناد شده است.

ضرورت توجه به ISI برای سنجش میزان تولید علم در زمینه مهندسی نقشه برداری و ژئوماتیک در کشور

عملده ترین شاخص تولید علم در سطح جهان، تعداد مقاله‌های علمی نمایه شده در ISI و نیز استنادهای مرتبط با آنها شناخته شده است. اندازه‌گیری تولید علم ایران در سه سال گذشته نشان می‌دهد که حجم تولید تحقیقات دانشگاهی کشور رشد روز افزون داشته است (شکل ۱).

مقایسه این دوره سه ساله با سالهای دهه گذشته نیز موید همین گرایش است. از نظر کمی، رشته شیمی مقام اول را دارد (شکل شماره ۲).

در مجموع، ساختار رشته‌ای تولید علم ایران با ساختار رشته‌ای تولید علم جهان تفاوت دارد که بیانگر رشد ناهمگون علم در



شکل ۲. تولید علم ایران بر حسب رشته در سال ۲۰۰۳

● REVIEWS OF GEOPHYSICS

Quarterly

ISSN: 8755-1209

AMER GEOPHYSICAL UNION, 2000 FLORIDA AVE NW, WASHINGTON, USA, DC, 20009

● SURVEY REVIEW

Quarterly

ISSN: 0039-6265

COMMONWEALTH ASSOC SURVEYING LAND ECONOMY, C A S L E, UNIV WEST ENGLAND, C/O FACULTY BUILT ENVIRONMENT, FRENCHAY CAMPUS, COLDHARBOUR L, BRISTOL, ENGLAND, BS16 1QY

● SURVEYS IN GEOPHYSICS

Bimonthly

ISSN: 0169-3298

KLUWER ACADEMIC PUBL, VAN GODEWIJCKSTRAAT 30, DORDRECHT, NETHERLANDS, 3311 GZ

8801 S YALE ST, TULSA, USA, OK, 74137

● IEEE TRANSACTIONS ON GEOSCIENCE AND REMOTE SENSING

Monthly

ISSN: 0196-2892

IEEE-INST ELECTRICAL ELECTRONICS ENGINEERS INC, 445 HOES LANE, PISCATAWAY, USA, NJ, 08855

● INTERNATIONAL JOURNAL OF REMOTE SENSING

Semimonthly

ISSN: 0143-1161

TAYLOR & FRANCIS LTD, 4 PARK SQUARE, MILTON PARK, ABINGDON, ENGLAND, OXON, OX14 4RN

● JOURNAL OF APPLIED GEOPHYSICS

Monthly

ISSN: 0926-9851

ELSEVIER SCIENCE BV, PO BOX 211, AMSTERDAM, NETHERLANDS, 1000 AE

● ISPRS JOURNAL OF PHOTOGRAMMETRY AND REMOTE SENSING

Quarterly

ISSN: 0924-2716

ELSEVIER SCIENCE BV, PO BOX 211, AMSTERDAM, NETHERLANDS, 1000 AE

● JOURNAL OF GEODESY

Monthly

ISSN: 0949-7714

SPRINGER-VERLAG, 175 FIFTH AVE, NEW YORK, USA, NY, 10010

● JOURNAL OF SURVEYING ENGINEERING-ASCE

Quarterly

ISSN: 0733-9453

ASCE-AMER SOC CIVIL ENGINEERS, 1801 ALEXANDER BELL DR, RESTON, USA, VA, 20191-4400

● MICROWAVE JOURNAL

Monthly

ISSN: 0192-6225

HORIZON HOUSE PUBLICATIONS INC, 685 CANTON ST, NORWOOD, USA, MA, 02062

● PHOTOGRAMMETRIC ENGINEERING AND REMOTE SENSING

Monthly

ISSN: 0099-1112

AMER SOC PHOTOGRAMMETRY, 5410 GROSVENOR LANE SUITE 210, BETHESDA, USA, MD, 20814-2160

● PHOTOGRAMMETRIC RECORD

Quarterly

ISSN: 0031-868X

BLACKWELL PUBLISHING LTD, 9600 GARSINGTON RD, OXFORD, ENGLAND, OXON, OX4 2DG

زمینه مهندسی نقشه برداری و زئوماتیک که در پایگاه داده ISI قرار دارند؛ درج می گردد:

● ADVANCES IN GEOPHYSICS

Annual

ISSN: 0065-2687

ACADEMIC PRESS INC ELSEVIER SCIENCE, 525 B ST, STE 1900, SAN DIEGO, USA, CA, 92101-4495

● ASIAN SURVEY

Monthly

ISSN: 0004-4687

UNIV CALIF PRESS,C/O JOURNALS DIVISION , 2000 CENTER ST, STE 303, BERKELEY,USA,CA,94704-1223

● ANNALES GEOPHYSICAE

Monthly

ISSN: 0992-7689

EUROPEAN GEOPHYSICAL SOC, MAX-PLANCK-STR 13, KATLENBURG-LINDAU, GERMANY, 37191

● ANNALS OF GEOPHYSICS

Bimonthly

ISSN: 1593-5213

EDITRICE COMPOSITORI BOLOGNA, VIA STALINGRADO 97/2, BOLOGNA, ITALY, I-40128

● ASTRONOMY & GEOPHYSICS

Bimonthly

ISSN: 1366-8781

BLACKWELL PUBLISHING LTD, 9600 GARSINGTON RD, OXFORD, ENGLAND, OXON, OX4 2DG

● CANADIAN JOURNAL OF REMOTE SENSING

Bimonthly

ISSN: 0703-8992

CANADIAN AERONAUTICS SPACE INST, 1685 RUSSELL RD, UNIT 1-R, OTTAWA, CANADA, ON, K1G 0N1

● CARTOGRAPHIC JOURNAL

Semiannual

ISSN: 0008-7041

MANEY PUBLISHING, HUDSON RD, LEEDS, ENGLAND, LS9 7DL

● GEOPHYSICAL JOURNAL INTERNATIONAL

Monthly

ISSN: 0956-540X

BLACKWELL PUBLISHING LTD, 9600 GARSINGTON RD, OXFORD, ENGLAND, OXON, OX4 2DG

● GEOPHYSICS

Bimonthly

ISSN: 0016-8033

SOC EXPLORATION GEOPHYSICISTS,

منابع

۱. اعتماد، شاپور و همکاران: سی سال تولید جهانی علم ایران، مرکز تحقیقات سیاست علمی کشور، بهار ۱۳۸۳
۲. پژوهش و توسعه: خبرنامه تحقیقات فناوری، شماره ۱۸، مهر ۱۳۸۲
۳. منصوری، رضا: ISI و فقه فارسی، خبرنامه تحقیقات فناوری، شماره ۱۹، آبان ۱۳۸۲
۴. نقطه عطف در تحقیقات دانشگاهی ایران: خبرنامه تحقیقات فناوری، شماره ۱۹، آبان ۱۳۸۲
۵. رتبه بندی ۵۰۰ دانشگاه برتر جهان: خبرنامه تحقیقات فناوری، شماره ۲۳، خرداد ۱۳۸۳
6. <http://www.isinet.com/journals/> - july 2004.

سازمان یادگیرنده «Learning Organization»

گرددآوری: مهندس مسحود عرفانیان

کارشناس ارشد ذره افزار رایانه مدیریت پژوهش و برنامه ریزی سازمان نقشه برداری کشوار

erfanian@ncc.org.ir

یادگیرنده (Learning Organization) را بیاموزنند؛ یعنی محتوای فرهنگ حاکم براین سازمانها باید فرهنگ یادگیری باشد.
سازمان یادگیرنده چیست و چه ویژگیهایی دارد؟

پیتر سنگ (Peter Senge) از MIT در سال ۱۹۹۰ سازمان یادگیرنده را سازمانی تعریف نمود که مدام تواناییها و ظرفیتهای جدید آینده خود را ایجاد می‌کند و پنج قانون برای تحقق این هدف تعیین کرد. این قوانین عبارتست از: یادگیری و رشد شخصی، تعیین انگیزش‌های انفرادی به صورت صریح و آشکار، بینش مشترک، یادگیری گروهی و تفکر نظام مند.

خلاصه‌ای از این قوانین بدین ترتیب است:
۱. تفکر نظام مند

این نوع تفکر، دارای یک چارچوب ادراکی و پیکره دانشی و ابزاری است که در طی پنجاه سال گذشته توسعه پیدا کرده است، تا الگوهای کاری را روشن تر کرده و به ما کمک کند تا دریابیم چگونه آنها را به طور موثرتر تغییر دهیم.

۲. استاد شدن فردی (یادگیری و رشد شخصی)

استاد شدن فردی، ممکن است برای به دست آوردن استیلا بر دیگران (مردم) یا اشیاء بوده یا به معنای سطح خاصی از تبحر

فناوری اطلاعات مزیت رقابتی شمرده می‌شود. اما در اقتصاد امروز می‌توان به طور نسبی، این چیزها را بسادگی و با سرعت تهیه کرد. آنچه بسهولت قابل دستیابی نیست،



دنیای کسب و کار امروز، مبنی بر دانش (یا Knowledge Driven Business) است. در این دنیای کسب و کار، ارزشمندترین دارایی سازمان‌ها «دانش» است که مستقیماً به مزیت رقابتی می‌انجامد.

دانش عبارتست از: مخلوط سیالی از تجربیات، ارزشها، اطلاعات موجود و نگرشهای کارشناسی سازمان یافته، که چارچوبی مشخص برای ارزشیابی و بهره‌گیری از تجربیات و اطلاعات به دست می‌دهد. دانش در سازمانها علاوه بر مدارک و ذخایر دانش، در رویه‌های کاری، فرآیندهای سازمانی، اعمال و هنجارها تجسم می‌یابد.

بدین ترتیب، مفهوم دانش با مفهوم «داده‌ها» و «اطلاعات» تفاوت دارد. اطلاعات به دست آمده از فرآیندهای گوناگون کسب و کار، تنها زمانی «دانش» تلقی می‌شود که در چارچوب و قالب لازم برای بهبود ملموس و واقعی این فرآیندها قرار گیرد.

گفته شده، دانش تک‌تک پرسنل و دانش جمعی ای که سازمان در اختیار دارد، تنها مزیت رقابتی واقعی ای است که یک سازمان می‌تواند به آن دل بیندد. در گذشته، ماشین آلات پیشرفته و بعدها

روکنیم، باعث تسریع در کار آموزش می شود.

فراگیری گروهی نوعی حیات است زیرا گروهها، واحد فراگیری اصلی و اساسی در سازمانهای مدرن هستند. تا زمانی که گروه نتواند بیاموزد، سازمان نمی تواند فرابگیرد. این ایده بسیار موردن توجه قرار گرفت اما راهکار اجرایی خاصی برای تحقق آن وجود نداشت. بعدها برای اجرایی شدن این مفاهیم، افرادی مانند دانیل توینین (Daniel Tobin) راهکار سازمان Enabled Organization را پیش کشید. سازمان دانش

محور سازمانی است که به صورت نظام مند و آگاهانه، محیط ثابت و مناسبی برای یادگیری پرسنل خود ایجاد می کند، به طوری که پرسنل به صورت مداوم و مستمر در حال یادگیری و یاددهی هستند و برای این منظور، از سیستمهای مدیریت دانش برای جذب، ذخیره و به اشتراک گذاری دانش استفاده می کنند. در حالت کلی، دانش در سازمان به صورت پراکنده و غیر منسجم توزیع شده است و راهکار نظام مندی برای مدیریت و استفاده از آن وجود ندارد. به همین دلیل، سازمانها فقط می توانند از بخش ناچیزی از دانشها و مهارت‌هایی که بالقوه در اختیار دارند، استفاده کنند. یک سیستم مدیریت دانش عبارتست از: سامانه‌ای که فرایندهای یافتن، ارائه کردن، نگهداری و به اشتراک گذاشتن دانش را به صورت نظام مند سازماندهی کند. به گونه‌ای که منجر به افزایش در گروههاست که باعث تضعیف فراگیری می شود. اگر آنها را خوب تشخیص داده و

بیشتر اوقات دیدگاه مشترک در یک شرکت یا سازمان، حول قدرت شخصی و جذبه رهبر آن می گردد یا اینکه به دور مساله‌ای که هر کس را به طور موقع تحریک می کند. اما با درنظر گرفتن یک انتخاب معین، افراد در صدد جستجوی هدفی والا نه فقط در زمان بحرانی، بلکه در بیشتر اوقات هستند. آنچه وجود نداشته فقط، نظام (نظم) تبدیل دیدگاه‌های فردی به دیدگاه مشترک است.

۵. فراگیری تیمی (یادگیری گروهی) نظم فراگیری تیمی با «گفتگو» آغاز



می شود و ظرفیت اعضا گروه برای کنار گذاشتن تصورات فردی و ورود به یک «تفکر مشترک» واقعی گفتگو افزایش می یابد.

امروزه، اصول گفتگو و روشهای آن مجدد کشف گشته و مورد اعمال قرار می گیرد. نظم گفتگو، شامل آموزش در مورد چگونگی تشخیص الگوهای تعامل در گروههاست که باعث تضعیف فراگیری می شود. اگر آنها را خوب تشخیص داده و

Proficiency باشد. افراد با سطح بالای مهارت فردی قادرند که مدام نتایج کارهایی را که برای آنها بشدت مهم است، درک کنند. استادی فردی نظامی است که مدام دیدگاه فردی ما را روشن و ژرف می کند. تمرکز کردن انرژیهای خود، توسعه صبر و شکیلی یا دیدن واقعیت به طور مادی است. بدین صورت آن، یک سنگ بنای مهم در سازمان یادگیرنده است که میتواند زیربنای معنوی سازمان باشد. تعهد یک سازمان (و ظرفیت یادگیری) می تواند به مراتب بزرگتر از تمام اعضای آن باشد.

۳. مدلهای روحی

مدلهای روحی به طور عمیقی دارای تصورات تعیین دادن و یا حتی تصاویر و تخیلاتی است که چگونگی درک ما را از جهان تحت تاثیر قرار می دهد. بیشتر اوقات ما از مدلهای روحی خود یا تاثیراتی که آنها بر فشار می گذارند، آگاهی کامل نداریم.

مدلهای روحی با گرداندن آینه به طرف داخل آغاز می شود؛ یعنی یادگیری و ضعیت درونی خودمان در جهان و نگاه کردن به عکس خودمان و حفظ آنها برای کنکاش و تفحص در مورد آنها. این کار همچنین در اجرای «مباحثه های یادگیری» که پرسش و حمایت را متعادل می کند، در جایی که مردم تفکر خود را به طور موثر در معرض دید قرار می دهند و آن تفکرات را برای نفوذ دیگران باز می گذارد، متمرث مر است.

۴. ساخت دیدگاه مشترک

اگر کسی فکر کند بدون اهداف و ارزشها جهانی می توان عظمت کسب کرد، سخت در اشتباه است.

به ابزار ساده ارائه آموزش‌های مبتنی بر کامپیوتر بسیار فراتر رفته و به سیستمهای جامعی تکامل یافته‌اند که از یک سو تمام فرایندهای آموزش را به صورت کاملاً مکانیزه پشتیبانی می‌کند و از سوی دیگر امکانات سیستمهای مدیریت دانش را ارائه می‌دهد. به عبارت دیگر: امروزه «eLearning» و مدیریت دانش در قالب یک سیستم جامع یکپارچه، همگرا شده‌اند.

پانوشت

۱. جزوای آموزشی شرکت ساپکو
۲. کتاب اصل پنجم سازمانهای یادگیرنده (قسمت اول) ترجمه و تالیف دکتر مدد.

آن نیست. «eLearning» عبارت است از: ارائه آموزش با استفاده از فناوری پیشرفته و منطبق بر استانداردهای تدوین شده موجود در چارچوب یک سیستم یکپارچه آموزشی و مطابق با مدل‌های آموزشی که آگاهانه انتخاب شده‌اند.

یک مزیت اولیه و بدیهی «eLearning»، امکان ارائه آموزش به فرآگیران بدون هرگونه محدودیت زمانی و مکانی و بدون نیاز به منفک شدن آنها از محل کار و زندگی است. «eLearning» همچنین، به کاهش و واقعی شدن هزینه‌های آموزشی و افزایش قابل ملاحظه کارایی و اثر بخشی آموزشی می‌انجامد؛ اما این همه داستان نیست. امروزه سیستمهای «eLearning» نسبت

شود. در سازمانهای یادگیرنده، یادگیری تنها در واحد سازمانی موسوم به بخش آموزش صورت نمی‌گیرد، بلکه تک تک افراد و پرسنل، در کلیه رده‌های شغلی، در حال یادداهن و یادگرفتن هستند و برای این مهم، فرهنگ فردی و سازمانی، بسترها و رویه‌های نظام مند لازم را فراهم می‌سازد.

امروزه روشهای نوین آموزش و یادگیری که مورد توجه سازمانها و موسسه‌ها قرار گرفته‌اند، سیستمهای جامع و یکپارچه آموزش الکترونیکی «eLearning» و مدیریت دانش است.

«eLearning» به معنی قراردادن متن جزوه یا تصاویر درس روی شبکه کامپیوتری و حداقل اضافه کردن چند فیلم و پویانمایی به

وجه اشتراک (ا) به مساب شماره ۹۰۰۳ بازی ملی ایران، شعبه سازمان نقشه‌برداری - کد ۷۰۷ (قابل پذافت در کلیه شعب بانک ملی) واریز نمایید. مبلغ اشتراک دوازده شماره نشریه در تهران ۴۸۰۰ ریال و در شهرستانها ۵۰۰۰ ریال است. زیر ارسال فرمایید.
تهران- میدان آزادی، فیلیا معداع سازمان نقشه‌برداری کشوی صندوق پستی: ۱۴۸۵-۱۶۸۴۳ تلفن اشتراک: ۰۲۱-۸۰۰۰۶۴۶۸ دافلی: ۰۲۱-۹۷۲۴ دو نگار: ۰۲۱-۹۷۲۴

برگ درخواست اشتراک نشریه علمی و فنی نقشه‌برداری

اشتراک یکسال نقشه‌برداری از شماره
تعداد نسخه نشریه نقشه‌برداری از شماره
نام و نام خانوادگی شغل
تحصیلات سن
نشانی
کد پستی
شماره رسید بانکی مبلغ ریال
شماره اشتراک قبلی تاریخ
امضا
تلفن:



مجموعه 2003 Office با نام «Language Interface Pack»، این قابلیت را فراهم می‌آورند تا ضمن تغییر جزئی در ظاهر آن، محیط 2003 Office بتواند از زبانهای دیگری مانند زبان فارسی نیز پشتیبانی کامل به عمل آورد.

براساس فناوری MUI شرکت مایکروسافت، اضافه شونده «Language Interface Pack» که به اختصار به آن «LIP» نامیده می‌شود؛ پس از نصب می‌تواند با ترجمه تمام قسمتهای Office 2003، تا ۸۰ درصد محیط درونی آن را همانگ با زبان مورد انتخاب کاربر نماید. همچنین «LIP» که خود دارای مجوز رسمی مایکروسافت است، در برطرف نمودن برخی اشکالات موجود در 2003 با زبان فارسی موثر خواهد بود.

در صورتی که قبل از 2003 Office را روی سیستم خود نصب کرده‌اید می‌توانید برنامه «LIP» را روی آن اجرا نمایید، تا بدین ترتیب محیط برنامه از زبان انگلیسی به زبان فارسی تغییر یابد. برای این کار پس از ورود به Microsoft Office Tools Microsoft Office 2003 Language Settings کلیک کرده و گزینه فارسی را انتخاب کنید. همچنین این «LIP» دارای یک غلط یاب هوشمند است که می‌تواند به صورت اتوماتیک به تصحیح کلمات فارسی پردازد. این نرم افزار در شبکه داخلی سازمان و در آدرس

\Dc\cc softwares\MS Office \Office 2003 Farsi Saz

قرار دارد.

منطقه‌ای، مدیریت امور اراضی، مدیریت مطالعات توسعه سد و نیروگاهها، اداره کل منابع طبیعی، مدیریت زمین‌شناسی و اکتشاف، سازمان صنایع و معادن و اداره کل راه و ترابری استان در محل مدیریت نقشه‌برداری خوزستان تشکیل شد.

در ابتدا، مدیر نقشه‌برداری استان به تشریح وظایف و اهداف این کمیته اشاره نمود و تشکیل این کمیته و کمیته تخصصی شهری را از دستاوردهای تشکیل گروه کارشناسی کاربران GIS استان از آغاز سال ۱۳۸۳ دانست و با توجه به انعکاس مناسب تشکیل همایش نیم روزه GIS مخصوص مدیران در دستگاههای اجرایی استان خواستار برگزاری مجدد همایش، با همکاری استانداری در مهرماه سال جاری شد. همچنین با اشاره به توافقهای به عمل آمده با استانداری، تشکیل دوره‌های آموزشی کوتاه مدت، ایجاد پایگاه اینترنتی و انجام پژوهه‌های نمونه در زمینه شهری و منطقه‌ای را به اطلاع نمایندگان حاضر رساند. در پایان جلسه، اداره کل منابع طبیعی استان به عنوان دبیر کمیته منطقه‌ای تا پایان سال جاری انتخاب شد.

فارسی ساز (سلیمانی) مایکروسافت به دای office 2003

مهندس مسعود عرفانیان

www.barnamenevis.org

مرداد ۱۳۸۴

بسته‌های نرم افزاری اضافه شونده به



برگزاری همایش GIS دا استانداری خوزستان

مهندس پیمان بکتاش

همایش نیم روزه GIS مخصوص مدیران استان خوزستان با همکاری استانداری، مدیریت نقشه‌برداری استان و سازمان نقشه‌برداری کشور در محل تالار اجتماعات استانداری خوزستان برگزار شد. در این رابطه کارشناسان اداره کل GIS سازمان نقشه‌برداری کشور مطالی را درمورد GIS، بکارگیری، اجرا و توسعه آن و یک نمونه پژوهه اجرا شده GIS و همچنین نمونه‌ای از کاربرد GIS در مدیریت بحران مربوط به شهر ایذه و مسائل زلزله خیزی آن منطقه ارائه نمودند. سپس مدیر نقشه‌برداری استان خوزستان، خلاصه‌ای از فعالیتهای شورای کاربران GIS استان از سال ۱۳۷۹ را بیان کرد و متذکر شد که در حال حاضر این شورا تحت عنوان گروه تخصصی GIS استان زیرمجموعه کارگروه آمایش محیط زیست انجام وظیفه می‌نماید.

اولین جلسه کمیته منطقه‌ای GIS استان خوزستان نیز با حضور نمایندگان برق

یک شاهکار در سیستم RTK

گیرنده دو فرکانس با الگوریتم Z-Tracking

تکنولوژی اتصال اجزا و ارسال اطلاعات بدون سیم

حل ابهام فاز 2 ثانیه تا 20 Km

برد ارسال تصحیحات RTK تا 50 Km

حافظه 128Mb بصورت SD کارت



Z-Max

شرکت پعد نگار

نماینده انحصاری کمپانی THALES نویگیشن فرائسه در ایران

تهران، میدان کاج، بلوار سرو غربی

خیابان صدف، پلاک ۶۰

تلفن: ۰۹۱۴۱۹۷-۹ فکس: ۰۹۳۱۹۹

E-mail: boednegar@yahoo.com

THALES
NAVIGATION



دستگاهی بی نظیر با کاربردهای فراوان

SOUTH

توtal استیشن های سری NTS

کلک / کلک
کلک / کلک

Your Surveying Solution

NTS-Electronic
TOTAL STATION

بازرگانی امیر
نمایندگی انحصاری در ایران

تلفن: ۰۱۷۳۹ - ۶۴۰۱۴۲۶ فکس:

www.amir-trading.com info@amir-trading.com



Help

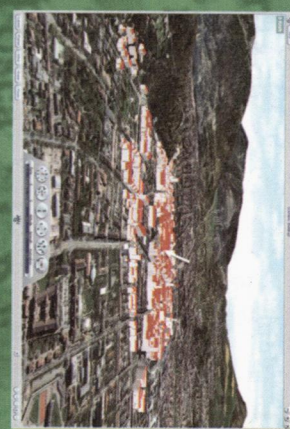
Scenario: Building

GeoPars

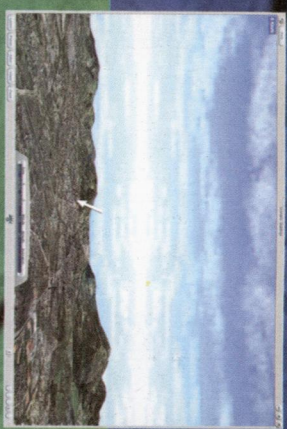
ONLINE DOCUMENTATION
WIT MAURO



امکان تبدیل اطلاعات لایه های رستری متعدد (اورتوفتو، توپوگرافی، نمودارها و ...)



تولید ستارجهای سه بعدی نماین
به همراه اطلاعات چند رساندایی،
توصیف کامل کارت توپوگرافی و امکان
لینک به بادکوهی اطلاعات



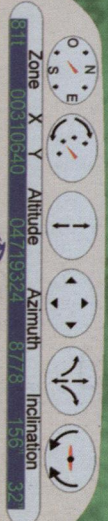
on-line GPS مکانیابی



GeoPars

۰۳۱-۸۷۵۴۸۹۶، ۰۳۱-۸۷۵۴۹۳۱۴،
۰۳۱-۸۷۵۴۰۱۶، ۰۳۱-۸۷۵۴۹۱۰۰
دور نگار: ۰۳۱-۸۷۵۰۰۱۶
WebSite: www.geopars.net
Email: info@geopars.net

Layers Places Infos Views Tours



کاربردهای مهندسی، سوریسم، مکانیابی، کشاورزی،
خطوط نفت و گاز، راهسازی، هواشناسی، آبوزشن، تاوبری و ...

- + X



RIEGL
LASER MEASUREMENT SYSTEMS



Trimble



Rollei

روای آلمان
با دوربین‌های متريک
فوتوگرامتری برد کوتاه
Close Range Photogrammetry
www.rolleimetric.de



GIM

نماینده معروف‌ترین نشریه
نقشه‌برداری GIM از GTC هلند
www.gim-international.com



نماینده رایانه (NPR)

بهترین، جامع‌ترین، پیشرفته‌ترین، ارزان‌ترین
نماینده انحصاری رسمی با گواهینامه بین‌المللی
www.nprco.com

VEXCEL
Imaging



وکسل اتریش با اسکنر عکس هوایی و
دوربین رقومی هوایی،
ارزان‌ترین و قوی‌ترین
www.vexcel.co.at

BOIF



* ترازیاب AL120 ... ۱۱۵,۰۰۰ تومان
* تتدولیت مکانیکی TDJ2E ... ۱,۳۲۵,۰۰۰ تومان
* باقت یک ثانیه TDJ6E ... ۱,۲۲۵,۰۰۰ تومان
* تتدولیت مکانیکی DJD20 ... ۸۲۵,۰۰۰ تومان
* باقت یک دقیقه ۲۰ ثانیه ... ۸۷۵,۰۰۰ تومان

FOIF

توتال استیشن لیزری OTS و بدون لیزر
نماینده انحصاری رسمی با ارائه کارانتی یکساله
کتابچه راهنمای فارسی و CD ویدئویی فارسی

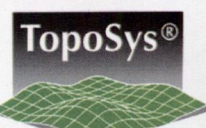


www.foif.com.cn

< تا ۶۰ متر بدون منشور با لیزر به همراه پوینتر، > برد با یک منشور ۵۰۰۰ متر
< ۴۰۰ نقطه حافظه، > صفحه نمایش دوطرفه، > شاقول لیزری
۳,۴۵۰,۰۰۰ تومان بالیزر، ۲,۷۵۰,۰۰۰ تومان بدون لیزر

RACURS

نرم افزار فتوگرامتری رقومی
PHOTOMOD
فتومد
اوین سافت کپی کامل رقومی
مورد استفاده شرکت‌های
ایرانی با امکانات
تجییه سنبی اتوماتیک
Matching
منحنی میزان
اتوماتیک، ارتقتو و
مزاییک از تصاویر هوایی
و ماهواره‌ای
۷ کتاب و ۲ سی دی آموزشی



www.toposys.com



www.racurs.ru

VIA SAT
GeoTechnologies

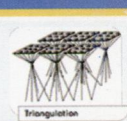
www.loktor.com



نقشه‌برداری Loktor از شرکت Viasat کاتانا GPS



جهت تأثیری و تعیین مختصات
مرکز تصویر دوربین هوایی، لیزر و یا هر
سنسور دیگر
www.igi-ccns.com



نرم افزارهای اساسی فتوگرامتری از آلمان
inpho www.inpho.de

برای کسب اطلاعات بیشتر و یا کنترل رسیدگی به سایت‌های کمپانی‌ها و یا
www.nprco.com مراجعه فرمایید.
نشانی: تهران، خیابان شریعتی، خیابان ملک، کوچه جلالی، پلاک ۳۲، طبقه اول، کوپستی: ۱۵۶۵۷-۶۶۵۱۳ (خط)، تلفن: ۷۵۳۲۴۱۵، فاکس: ۰۹۱۲-۱۱۶-۲۴۰۵ همراه: E-mail: info@nprco.com, npr_co@yahoo.com WEB: www.nprco.com

PHOTOGRAMMETRY JX4C

- دقت و سرعت بالا در مرحله آنالیز
- ترسیم منمنی میزان بصورت فودکار
- انجام کلیه عملیات تصمیمی و ترسیم بصورت زنگ افزایی
- آنالیز به روشن شیوه سازی
- و ۹۰ درصد فایلهای با فرمتهای مختلف
- انجام عملیات مثلث بندی عکسها های هوایی

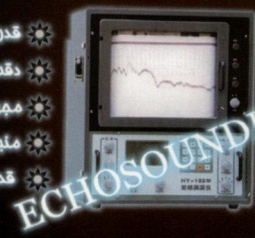
60m	ضفدعه سفید	پردازش:
500m	۳۰*۳۰cm	ضفدعه آلمونیوم
700m	۴۰*۴۰cm	ضفدعه آلمونیوم
1200m	میلان منشور	میلان منشور
5000m	لک منشور	لک منشور



- قابلیت ذخیره اطلاعات
- زمان اندازه گیری در حالت ۰.۵s Track
- مدبف به درجه فردوسی RS232C و زنگ افزای مخصوص

TOTALSTATION

- قدرت: ۱۰۰ وات با فرکانس کار 200KHz
- دقت: 1200m تا 600m ۲cm
- مدبف به درجه RS232 برای ارتباط مستقیم با PC
- مکانیزم ۱۶ قطبی
- قدرت عمق سمع بین صفر تا 1200m



ECHOSOUNDER

- پوشش کاملاً ممکن و خد آب
 - پوشش خد تاشیج و خد پرده
 - قابلیت کار در هر نوع شرایط آب و هوا
 - مدبف به درجه RS232
 - دقت کار:
- | | |
|-------------|--------|
| 5mm + 2ppm | ایستاد |
| 10mm + 2ppm | سرعت |
| 1-3 m | مرکز |



با تشکر از بازدید کنندگان محترم از شرفه این شرکت در نمایشگاه ژئوتکنیک ۸۷ و استقبال بی نظیر شما عزیزان در خصوص دستگاههای مختلف نقشه برداری، نظر به اینکه مشکلاتی در بردهای الکترونیکی تجهیزات **فویف** از جمله توتال استیشن های **OTS** و **RTS** که موجب کمال کردن سیستم می شود، این شرکت خود را موظف می دارد تا جهت تعویض برد این دستگاهها اقدام نماید. لذا خواهشمند است جهت همراهی و تعویض این برد ها با این شرکت تماس حاصل فرمایید. قبل از ختایت شما عزیزان کمال تشرک و سپاسگزاری را داریم.

در ضمن این شرکت در قبال تجهیزات واکذار شده از متابع غیر مستقر مسؤولیتی ندارد.

دور سنج

محری کلیه پروژه های نقشه برداری

نماینده اتحادیه تجهیزات رباتیک کارخانجات FOIF در ایران

دفتر مرکزی:
تهران - تقاطع شهروردي شمالی و خیابان مطهری
خیابان باغ - شماله ۱۳۵

تلفن: ۰۵۵-۰۰۵-۸۷۵۷۵۱۰ - ۰۵۶-۳۶۰۵

پست الکترونیک: doursanj@dpmail.net

وب سایت: www.doursanj.com

NEW! www.iranfoif.com

NEW! www.geoiran.com



دقیق ترین اندازه‌گیری در سخت ترین شرایط

Trimble نخستین مبتکر در زمینه فن آوری الکترونیکی در علوم ژئوماتیک، سازنده اولین EDM، اولین توtal استیشن، اولین سیستم اندازه‌گیری نقشه‌برداری روبوتیک در جهان و همچنین تولید کننده پیشرفت‌های GPS در دنیاست که هم اکنون مجموعه کاملی از دستگاه‌های آن توسط شرکت ژئوتک ارائه می‌شود. اینک با تعدادی از تجهیزات آشنا شوید:

توtal استیشن Trimble 5500 سری DR: مجهز به طولیاب لیزری، سرو موتور چهار سرعته، دارای اپتیک با کیفیت بالا، با قابلیت ذخیره و انتقال اطلاعات تا ۱۲۸ مگابایت، برد ۵۰۰ متر با یک منشور و دقت $2\text{mm}+2\text{ppm}$ مناسب برای اجرای انواع پروژه‌های پیچیده همانند پل‌ها، تونل‌ها، سازه‌های بلند یا معادن رویاز و کابل‌های مرتفع.

توtal استیشن Trimble 5600 DR سری Servo: علاوه بر ویژگی های فوق، قابلیت Up Grade شدن داشته و می‌تواند از Robotic Autolock و یا Servo تبدیل شود، برد اندازه‌گیری بدون منشور این مدلها تا ۸۰۰ متر می‌رسد. دقت طول یابی بعضی از مدل‌های سری ۵۶۰۰ ۵۶۰۰ بنابراین انتخاب کاربر حتى در حد $1\text{mm}+1\text{ppm}$ است.

ترازیاب الکترونیکی Dini 12: دقیق ترین ترازیاب دیجیتال جهان، دارای اپتیک Zeiss آلمان، با تکنولوژی بالا در تفسیر بارکد و بسیاری مزایای منحصر به فرد دیگر.

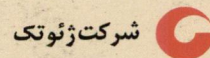
شرکت ژئوتک با بهره گیری از تجربیات ارزشمندی که طی ۲۰ سال گذشته در زمینهٔ دانش فنی و علوم ژئوماتیک به دست آورده، با عرضه تولیدات Trimble و ارائه خدمات و پشتیبانی کامل در خدمت متخصصانی است که همواره بهترین هارا بر می‌گزینند.



Total Station 5500, 5600



Dini12



آدرس: تهران، میدان آزادی، خیابان بهاران، خیابان زاگرس، پلاک ۱ تلفن: ۰۹۱-۰۹۷۹۲۴۹۰ دورنگار: ۰۹۷۹۳۵۱۴
وپ سایت: www.geotech-co.com پست الکترونیک: geo.sales@geotech-co.com